Spectroscopie optique des verres

Gérald Lelong

IMPMC, Sorbonne Université - Paris









La spectroscopie

La **spectroscopie**, ou **spectrométrie**, est une technique qui permet d'étudier l'interaction entre la matière et les rayonnements électromagnétiques (lumière visible, infrarouge, ultraviolet, rayons X,...) En pratique, elle consiste à analyser la manière dont une substance **absorbe**, **émet ou diffuse** le rayonnement en fonction de sa longueur d'onde ou de sa fréquence.

La **spectroscopie** permet :

- o d'identifier la composition chimique d'un échantillon,
- o de déterminer la structure et les propriétés du matériau,

Il existe plusieurs types de spectroscopies selon la nature du rayonnement utilisé :

- Spectroscopie infrarouge (IR): vibrations des liaisons chimiques,
- o Spectroscopie UV-Visible-NIR: transitions électroniques,
- Spectroscopie Raman: vibrations locales et collectives
- o Spectroscopie de résonance magnétique nucléaire (RMN) : environnement des noyaux atomiques,
- Spectroscopie de masse : mesure des rapports masse/charge des ions, etc.

La spectroscopie

La **spectroscopie**, ou **spectrométrie**, est une technique qui permet d'étudier l'interaction entre la matière et les rayonnements électromagnétiques (lumière visible, infrarouge, ultraviolet, rayons X,...) En pratique, elle consiste à analyser la manière dont une substance **absorbe**, **émet ou diffuse** le rayonnement en fonction de sa longueur d'onde ou de sa fréquence.

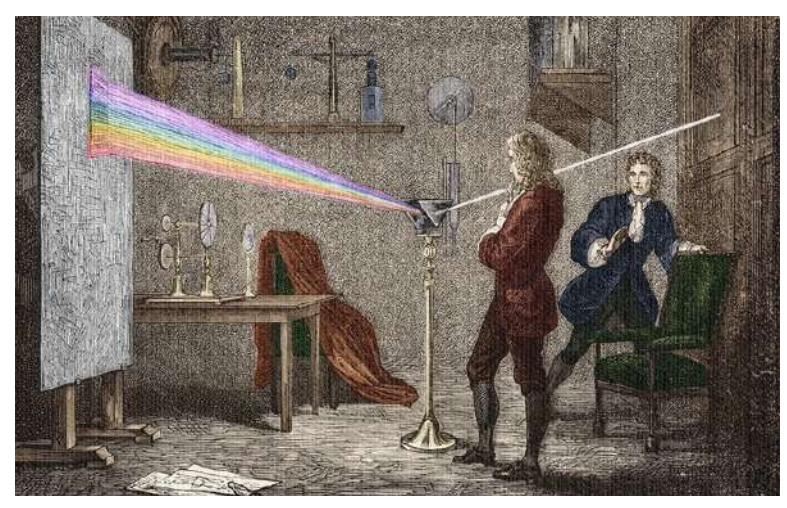
La **spectroscopie** permet :

- o d'identifier la composition chimique d'un échantillon,
- o de déterminer la structure et les propriétés du matériau,

Il existe plusieurs types de spectroscopies selon la nature du rayonnement utilisé :

- o Spectroscopie infrarouge (IR): vibrations des liaisons chimiques,
- o Spectroscopie UV-Visible-NIR: transitions électroniques,
- Spectroscopie Raman: vibrations locales et collectives
- o Spectroscopie de résonance magnétique nucléaire (RMN) : environnement des noyaux atomiques,
- Spectroscopie de masse : mesure des rapports masse/charge des ions, etc.

La spectroscopie optique ou UV-Visible-NIR



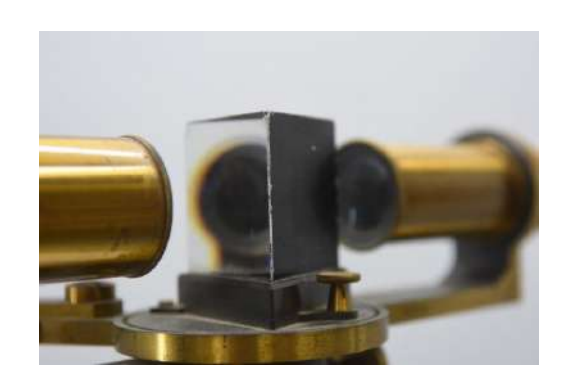
Au cours des années 1670 à 1672, Newton étudie la réfraction de la lumière et démontre qu'un prisme décompose la lumière blanche en un spectre de couleurs, et qu'un objectif avec un deuxième prisme recompose le spectre multicolore en lumière blanche.

Le spectroscope

Le **spectroscope** est un appareil destiné à observer les spectres lumineux. Il fut inventé par Joseph von Fraunhofer, illustre opticien allemand, en 1815.







Le spectroscope

Le **spectroscope** est un appareil destiné à observer les spectres lumineux. Il fut inventé par Joseph von Fraunhofer, illustre opticien allemand, en 1815.



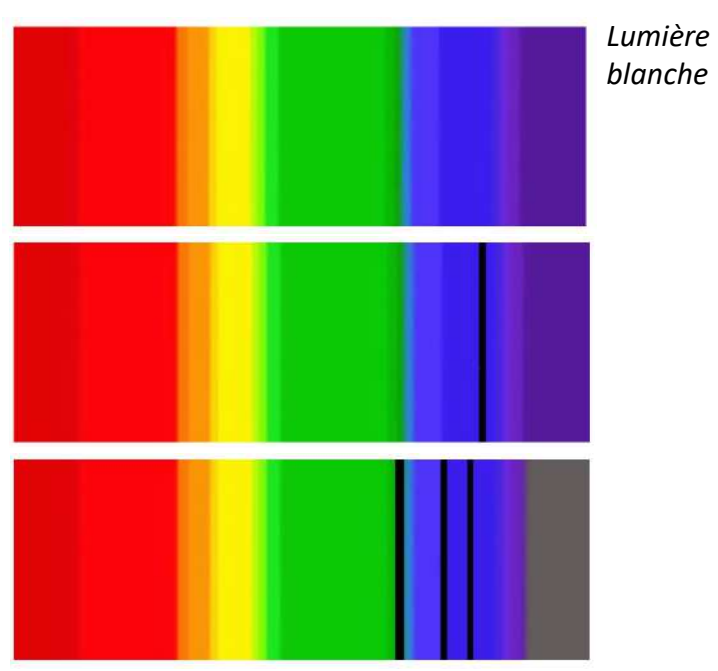


Saphir bleu (Fe, Ti)Al₂O₃



Peridot (Mg,Fe)₂SiO₄

Spectroscope à réseau

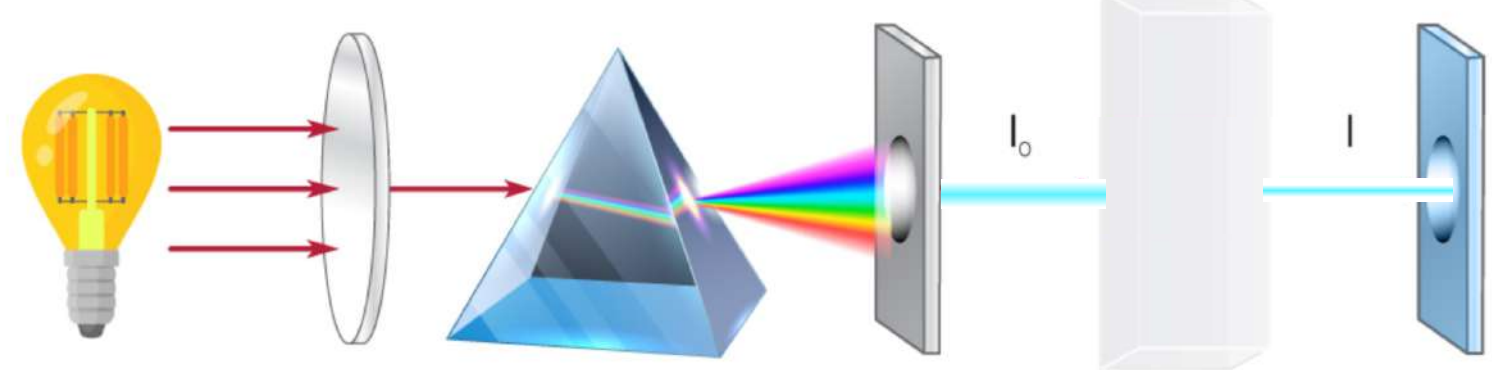


Caractériser la couleur devient alors possible !

Source: wikipedia – le spectroscope

Les spectrophotomètres aujourd'hui







— Monochromateur —

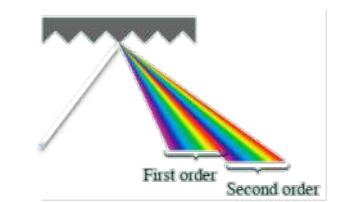
Lampe D_2 (λ < 350nm)



Lampe W $(\lambda > 350nm)$



Réseau de diffraction



Détecteurs



Photomultiplicateur



Photodiode



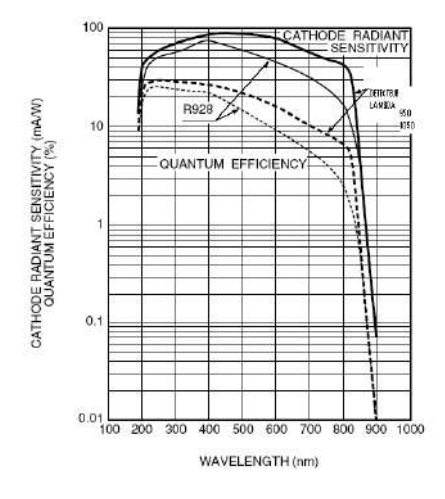
Capteur CCD

Les types de détecteurs

UV - Visible



200 - 850 nm



Photomultiplicateur





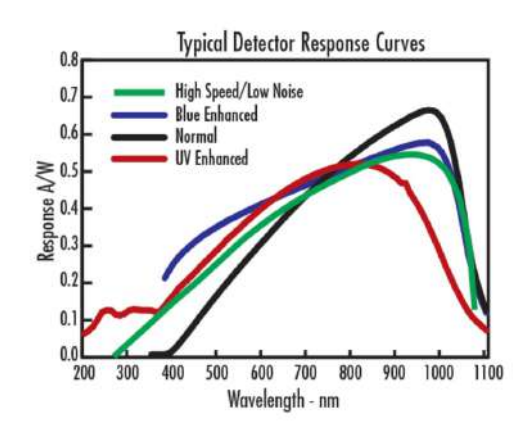
Diode au Si 300 - 1050 nm

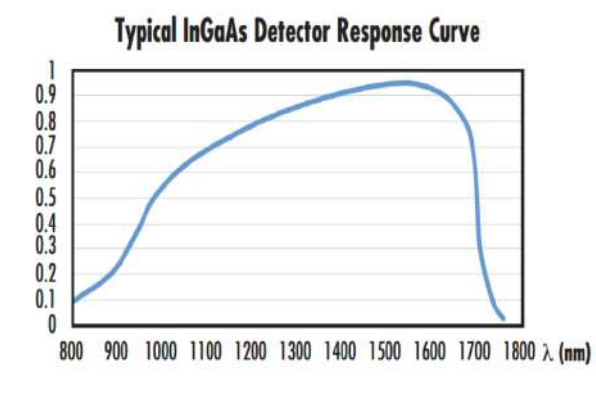


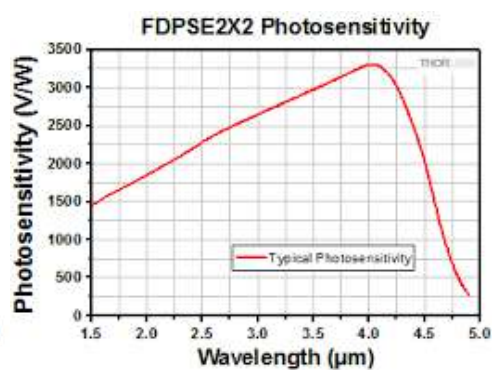
Photodiode InGaAs 850 – 1700 nm



Détecteur PbS 1000 - 4000 nm

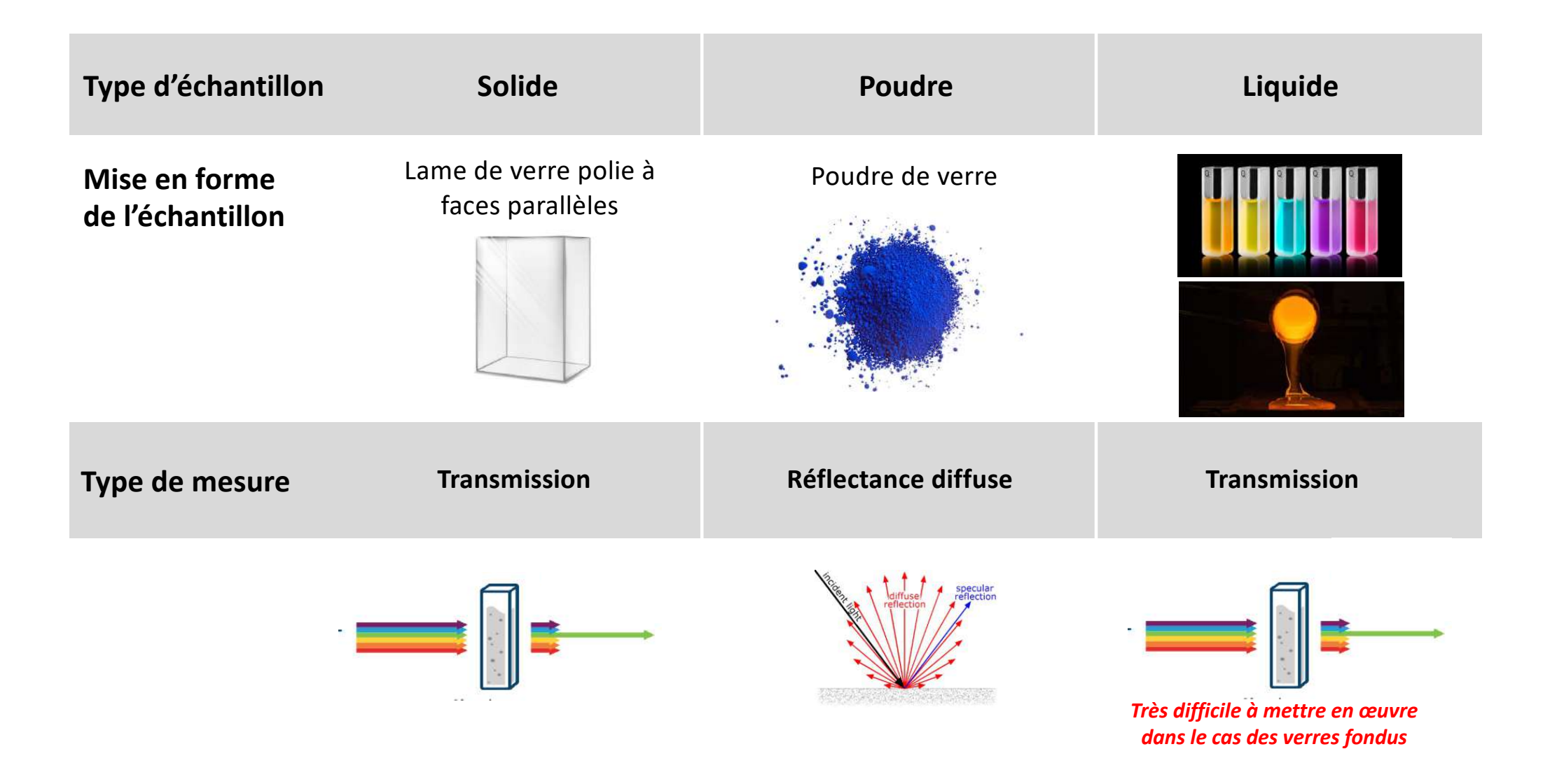






Ref: Perkin-Elmer / Edmund Optics / Thorlabs

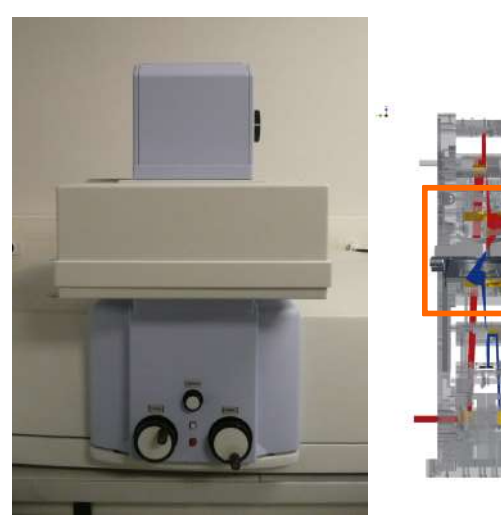
Les types d'échantillons

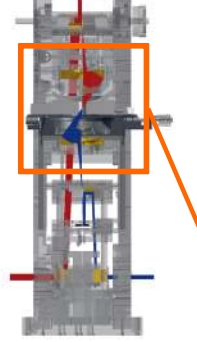


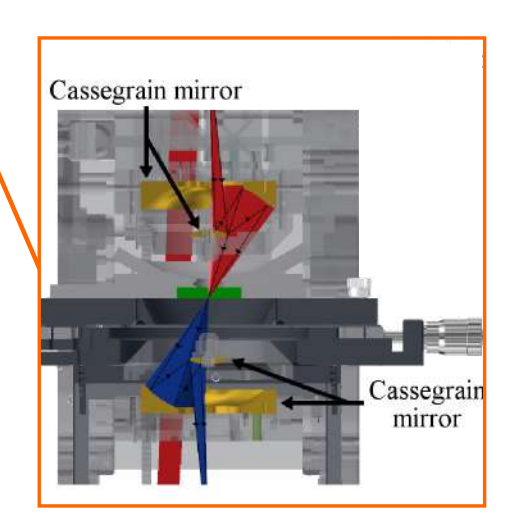
Les environnements échantillons / Mesures spécifiques

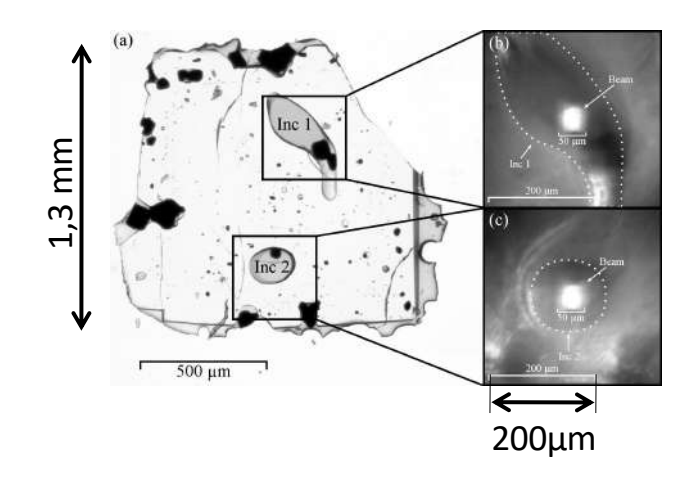
- Microspectrophotométrie – Spot 20-120 μm

- Mesures en transmission uniquement
- Faisceau microfocalisé:
- Gamme spectrale: 220 3300nm











Les environnements échantillons / Mesures spécifiques

- Microspectrophotométrie – Spot 20-120 μm

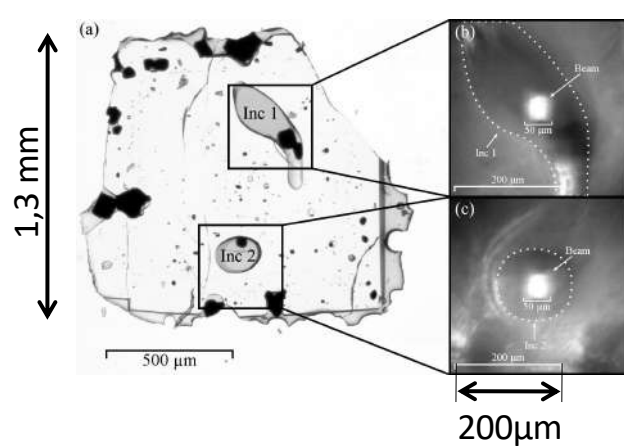
- Mesures en transmission uniquement
- Faisceau microfocalisé:
- Gamme spectrale: 220 3300nm

- Mesures en température - 10 K < T < 1700 K

- Mesures en transmission <u>uniquement</u>
- Gamme spectrale: 220 3300nm

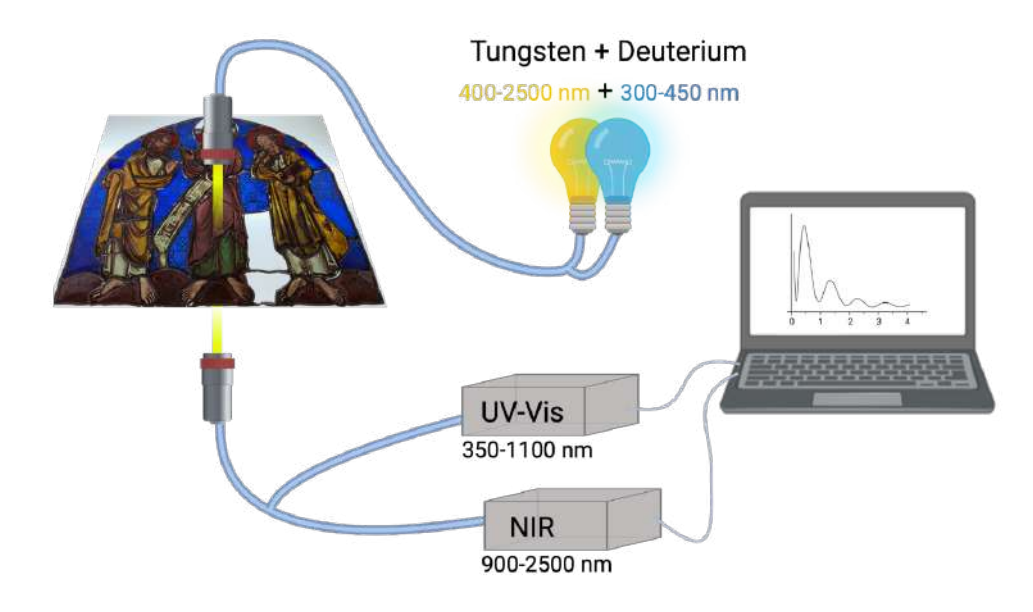




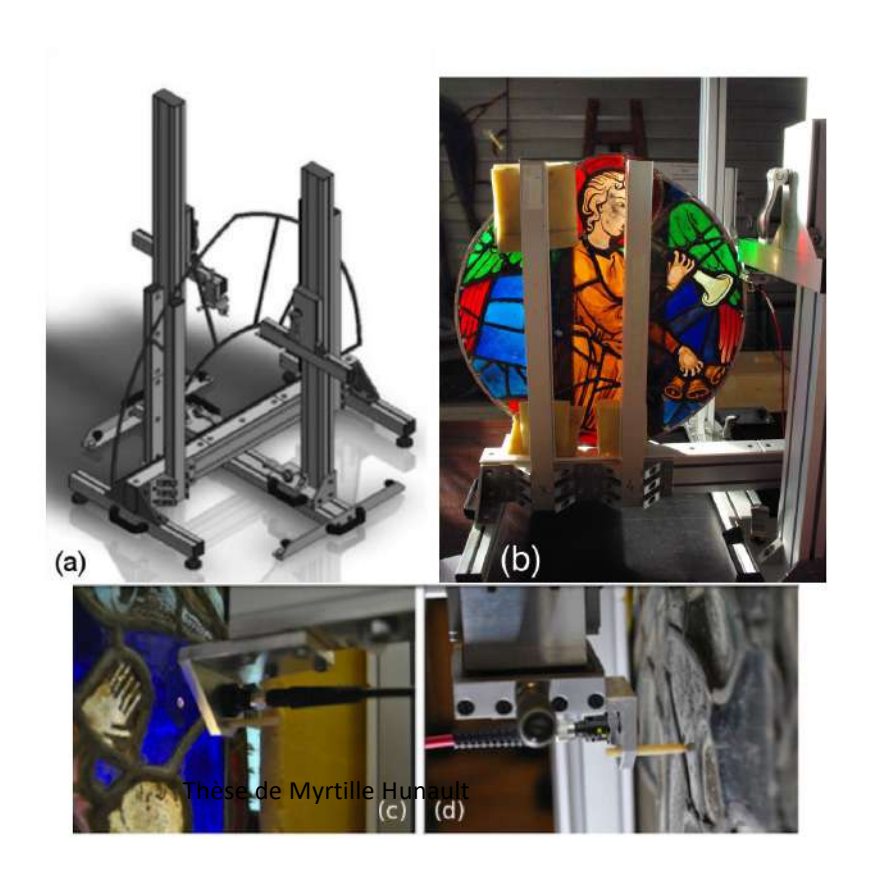




La spectrométrie UV-Visible-NIR portable



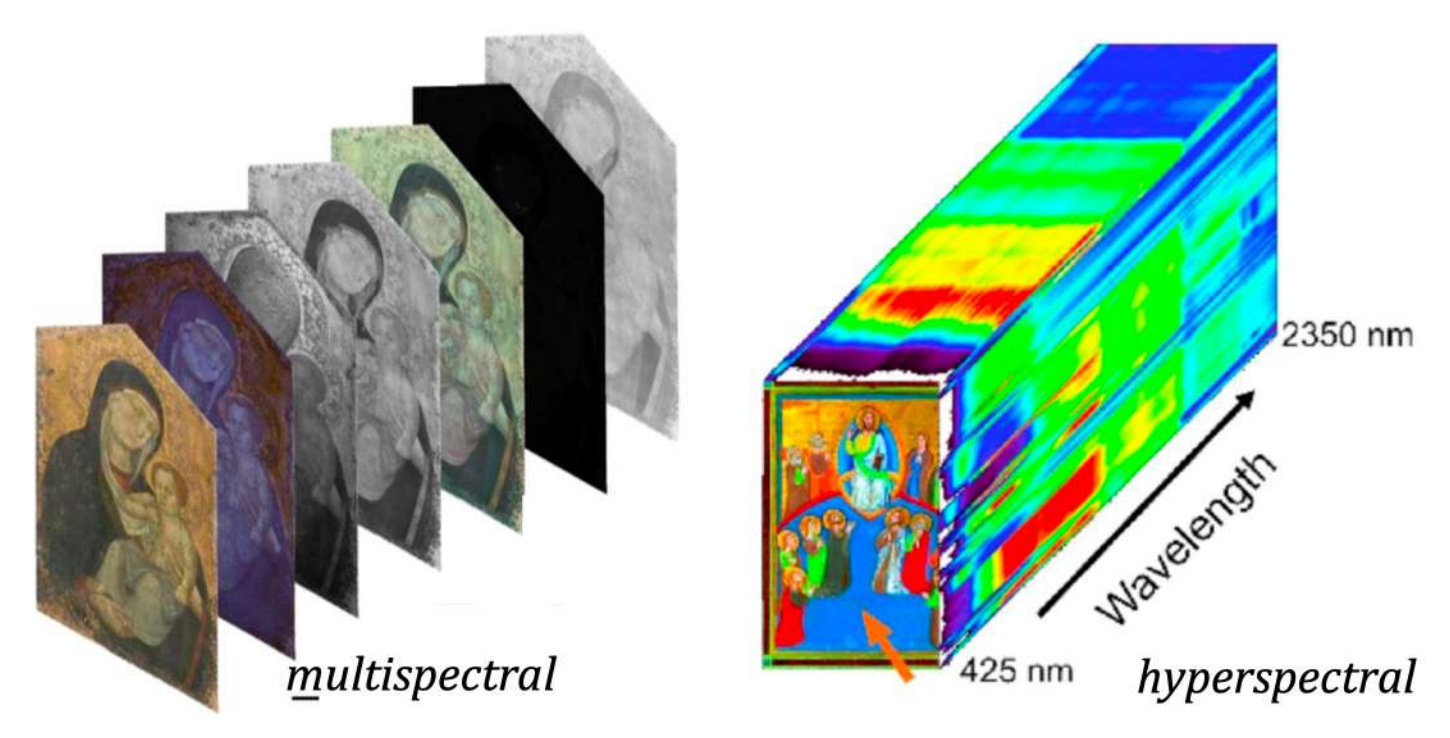




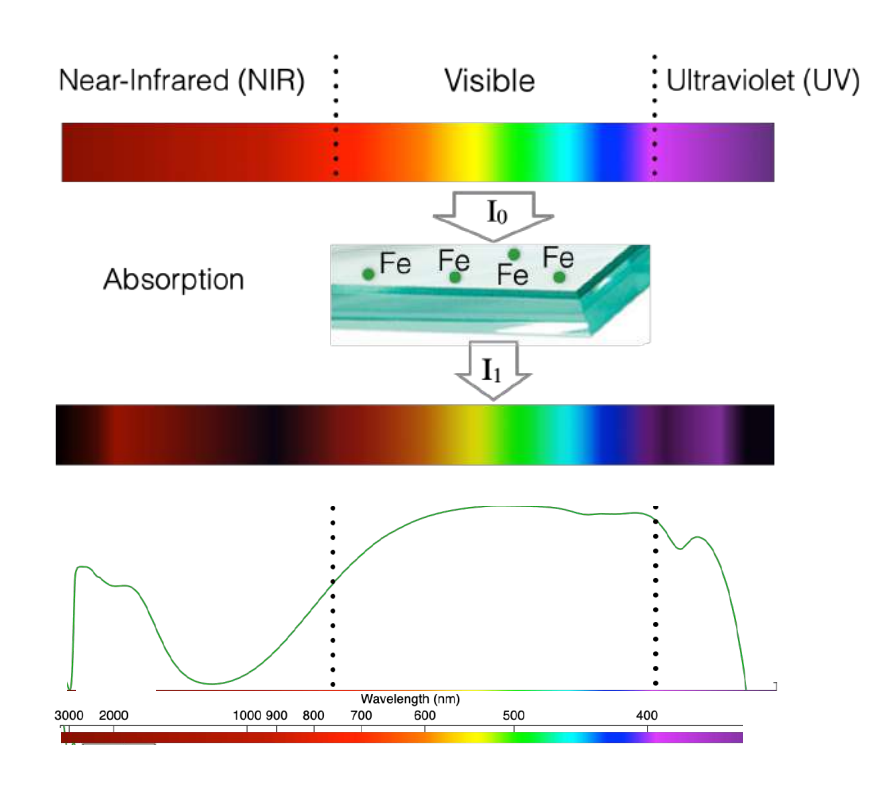
Thèse de Théo Caroff

Imagerie hyperspectrale

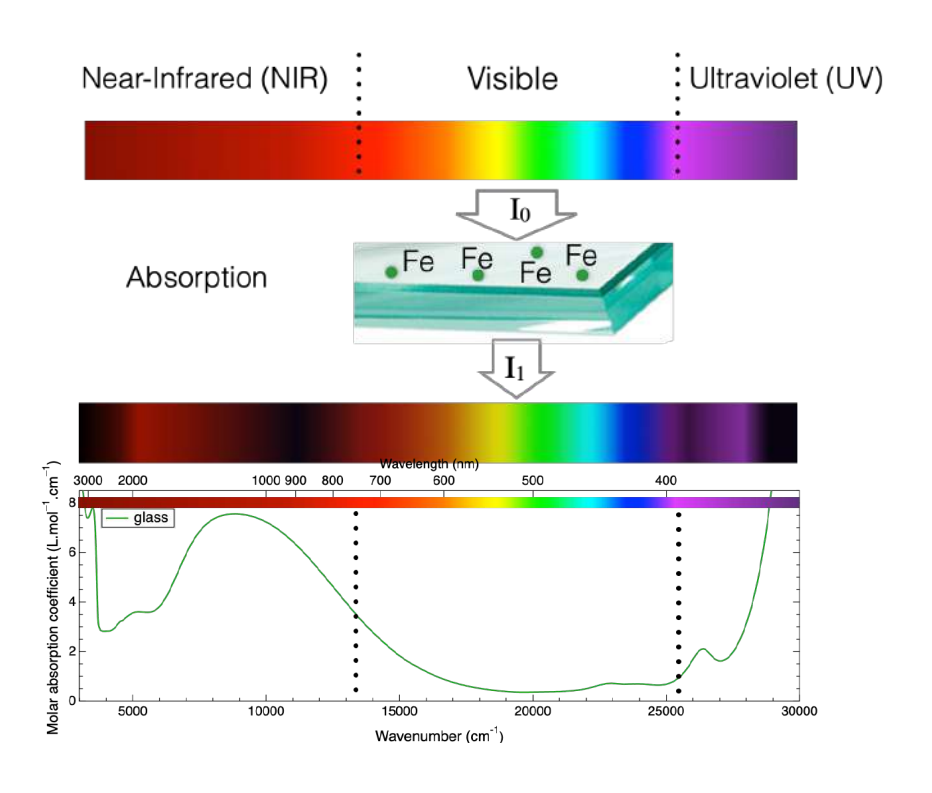
L'imagerie hyperspectrale consiste à acquérir des informations spatiales et spectrales sur un objet : à chaque pixel de l'image, un spectre de réflectance de la lumière (pourcentage $R(\lambda)$ de lumière réfléchie en fonction de la longueur d'onde λ de la lumière incidente) est mesuré de manière continue, avec une grande résolution spectrale.



QUE MESURE T-ON?



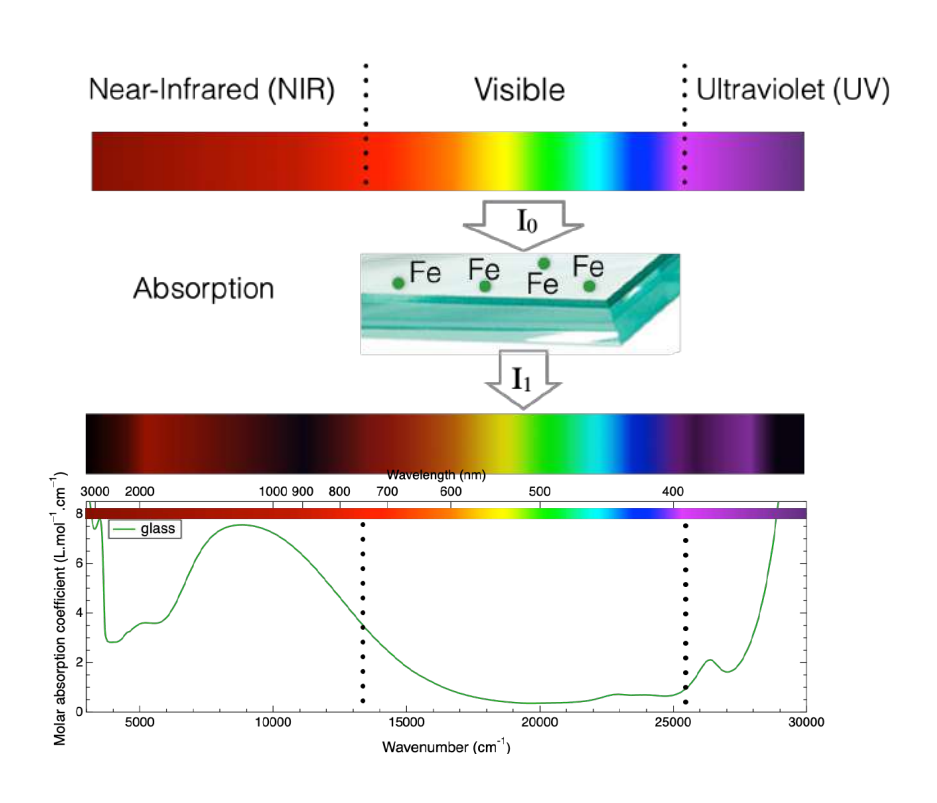
Transmittance : $T = I_1/I_0$



Transmittance : $T = I_1/I_0$

Absorbance: $A = -log_{10}(T)$

% T	Abs
100	0
50	0,3
10	1
1	2
0,1	3
0,01	4
0,001	5
0,0001	6
0,00001	7



Transmittance : $T = I_1/I_0$

Absorbance: $A = -log_{10}(T)$

Loi de Beer Lambert:

 $A = \varepsilon . \ell . C$

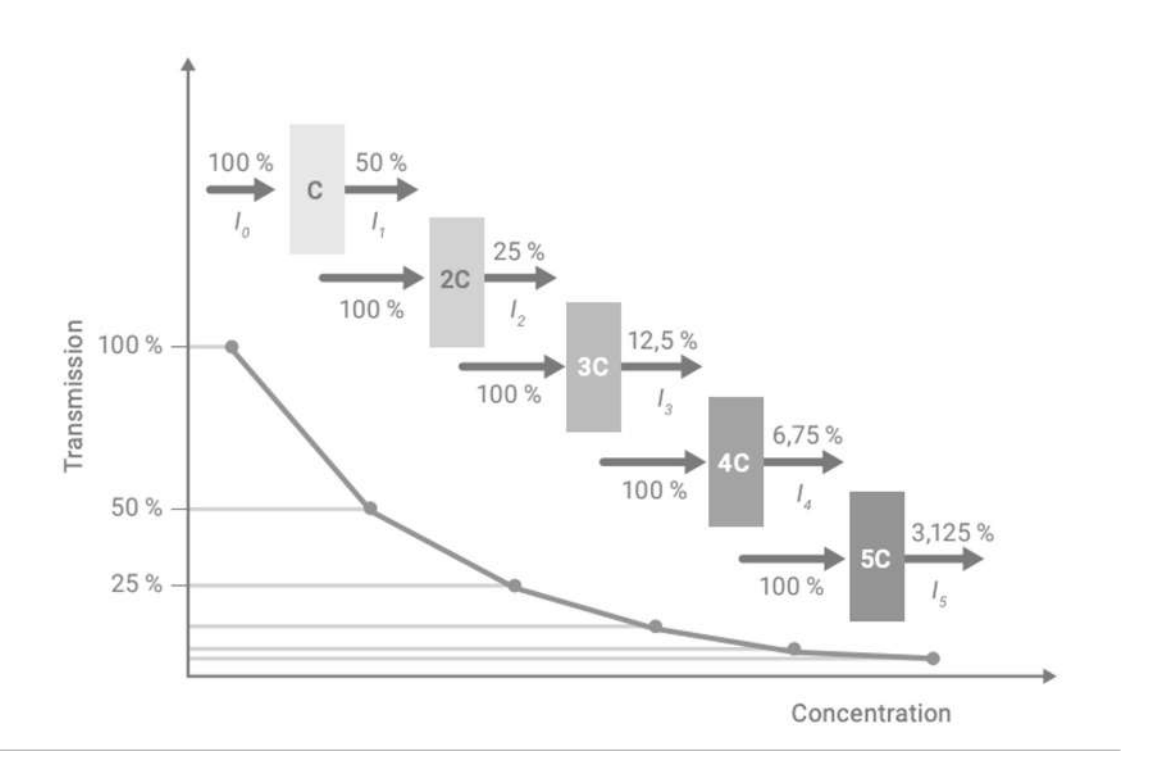
 ε = coefficient d'extinction molaire

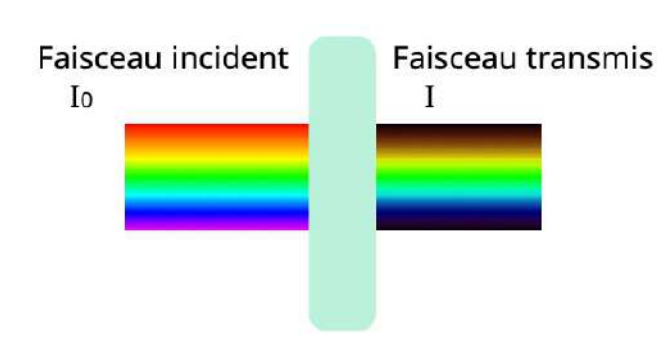
l = longueur du chemin optique

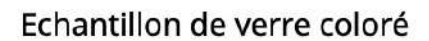
C = concentration de l'espèce absorbante

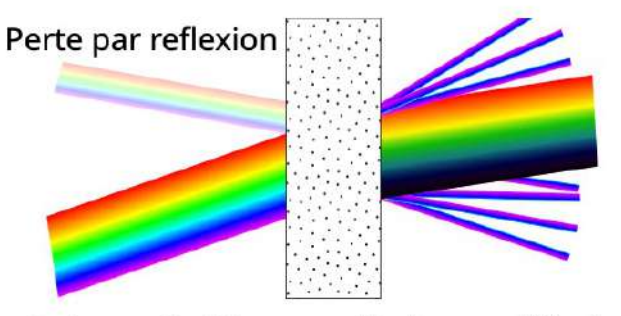
On a un spectre d'absorption UV-Visible-NIR!

La loi de BEER-LAMBERT en chiffres





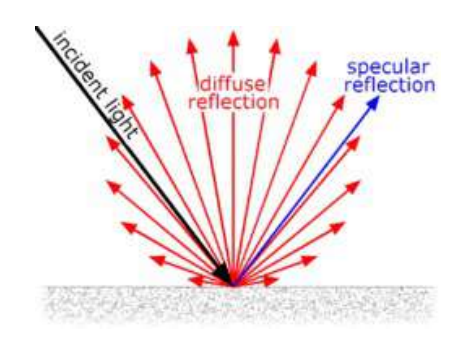




Faisceau incident

Perte par diffusion

Echantillon incolore diffusant



Equation de Fresnel

$$r(n) = \left(\frac{n-1}{n+1}\right)^2$$

Verre sodo-calcique : n = 1,52

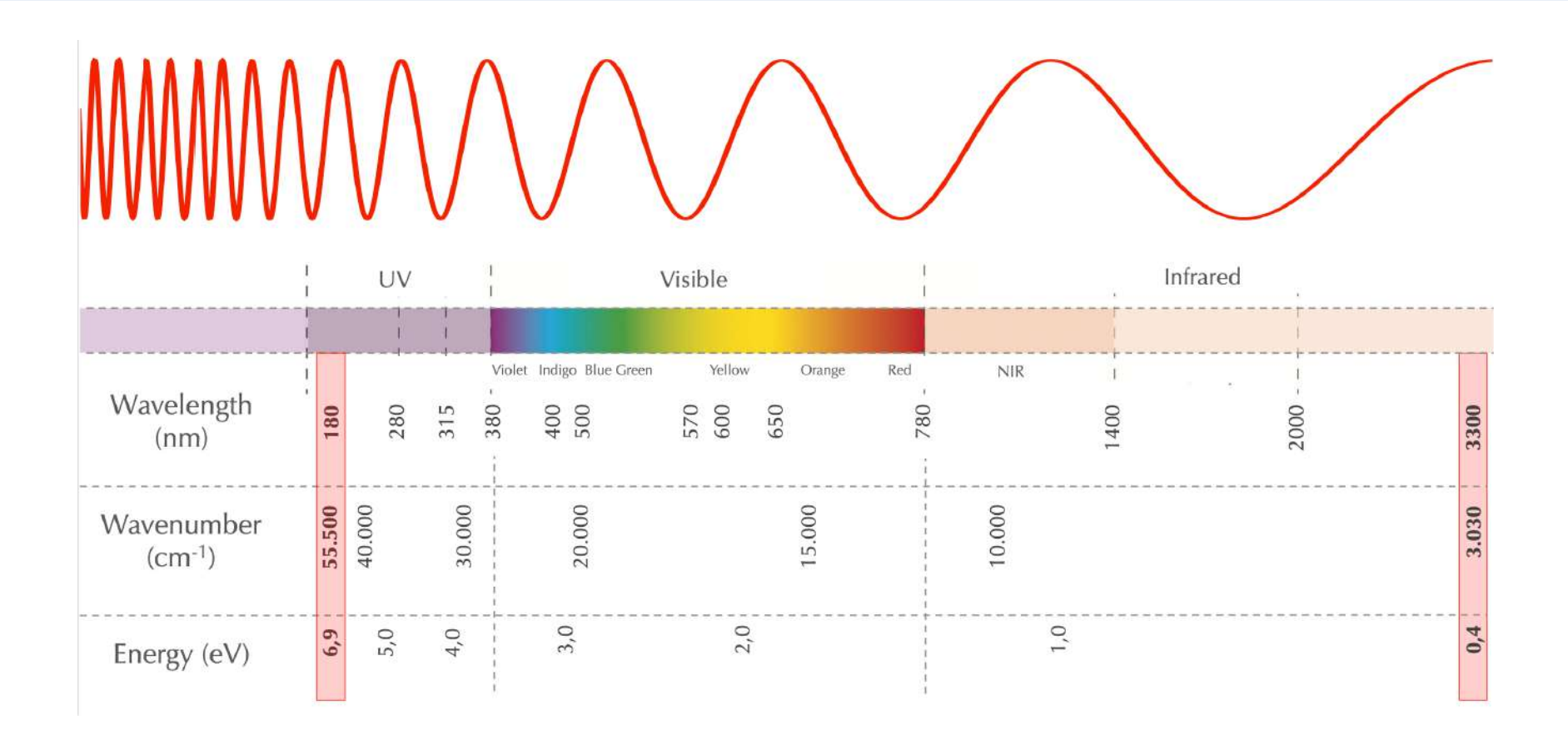
coefficient de réflexion $r \approx 4 \%$, coefficient de transmission $t \approx 96 \%$

Kubelka-Munk Approximation

Pour une couche d'épaisseur optique infinie:

$$\frac{K}{S} = \frac{(1-R)^2}{2R}$$

Les unités

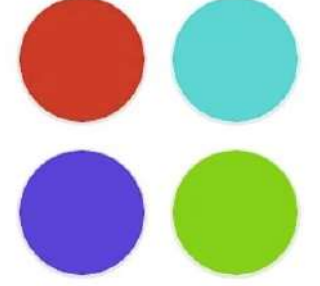


LA COLORIMÉTRIE

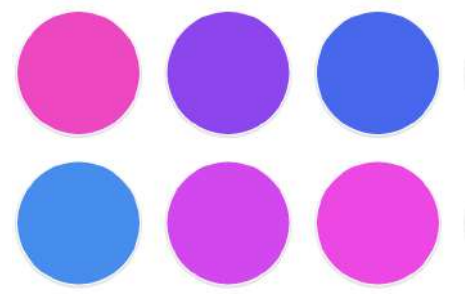
La couleur – notion très subjective!

La description et la comparaison des couleurs basées sur l'observation à l'œil humain sont limitées par notre subjectivité. Afin de pallier cela, la colorimétrie (mesure de la couleur) a été développée et fournit des outils objectifs de quantification de la couleur.

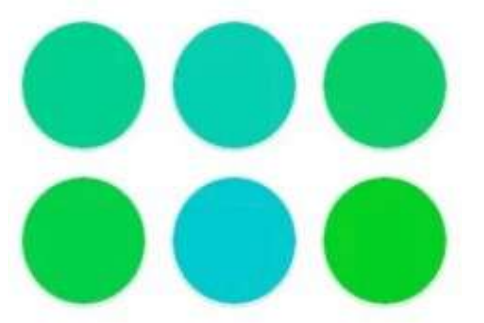
EXEMPLE 1



EXEMPLE 2

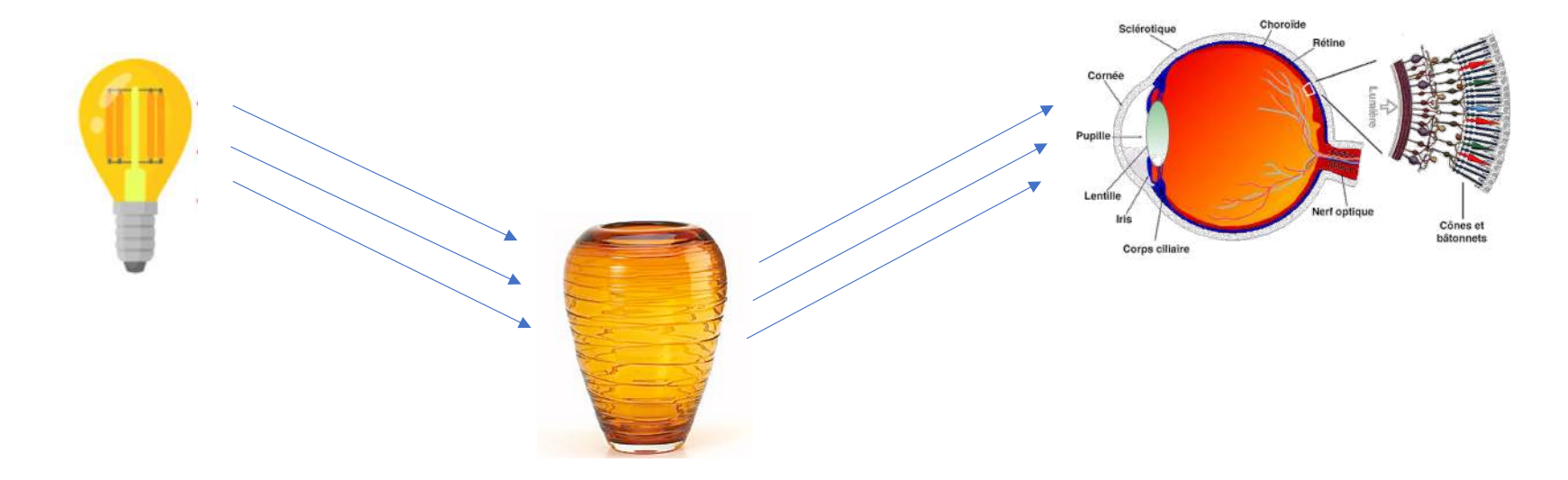


EXEMPLE 3



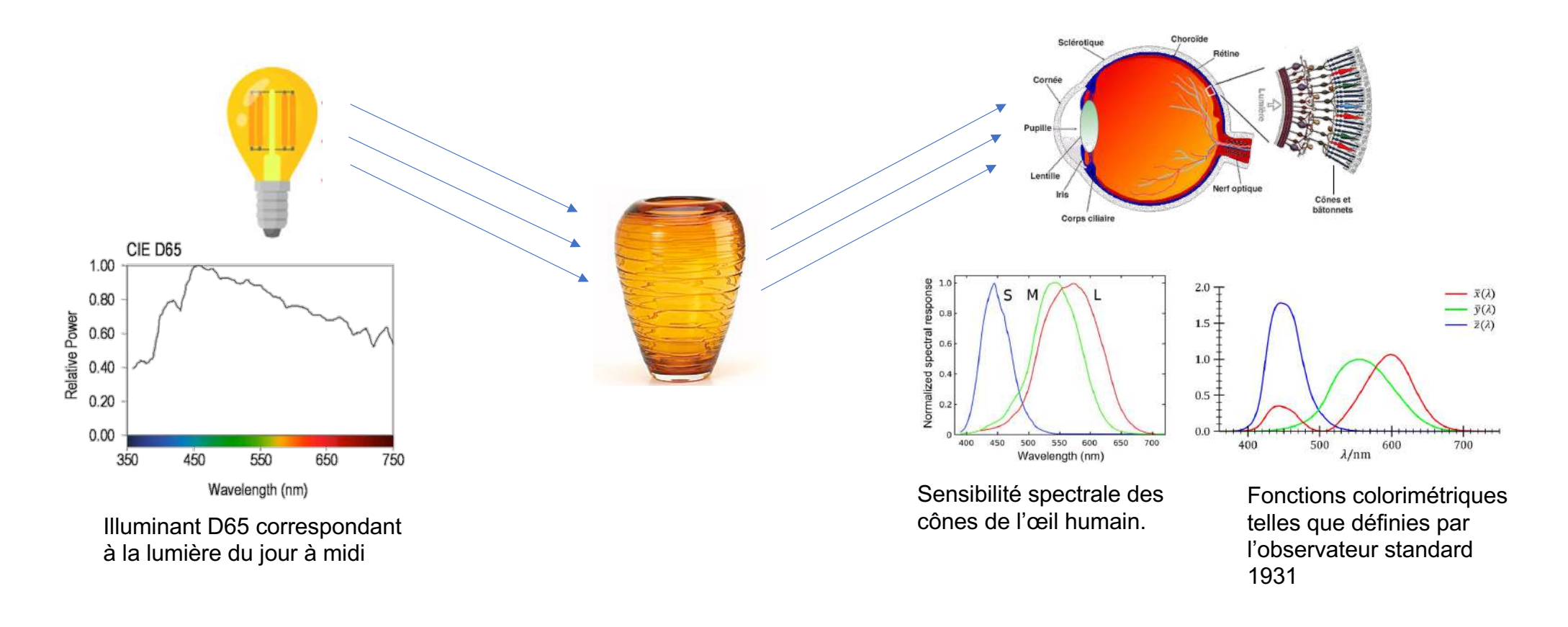
La colorimétrie / la couleur est-elle unique ?

La sensation de la couleur d'un objet résulte de la présence simultanée de trois éléments : l'illuminant, l'objet, et l'observateur. Ces trois paramètres influencent la couleur finale perçue.



La construction d'un outil de quantification de la couleur commence donc par la définition de standards afin de permettre la mesure de la couleur dans des conditions reproductibles et comparables.

La colorimétrie / les standards



La colorimétrie / les coordonnées XYZ – CIE 1931

$$X = \int_{380}^{780} I(\lambda)\bar{x}(\lambda)d\lambda$$

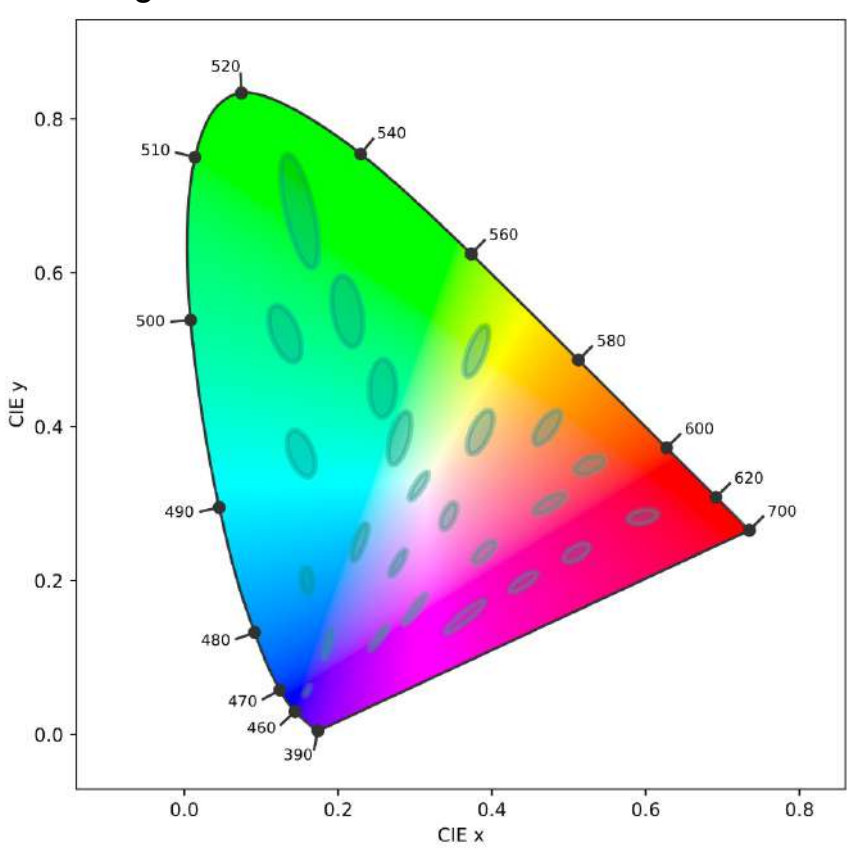
$$Y = \int_{380}^{780} I(\lambda)\bar{y}(\lambda)d\lambda$$

$$Z = \int_{380}^{780} I(\lambda)\bar{z}(\lambda)d\lambda$$

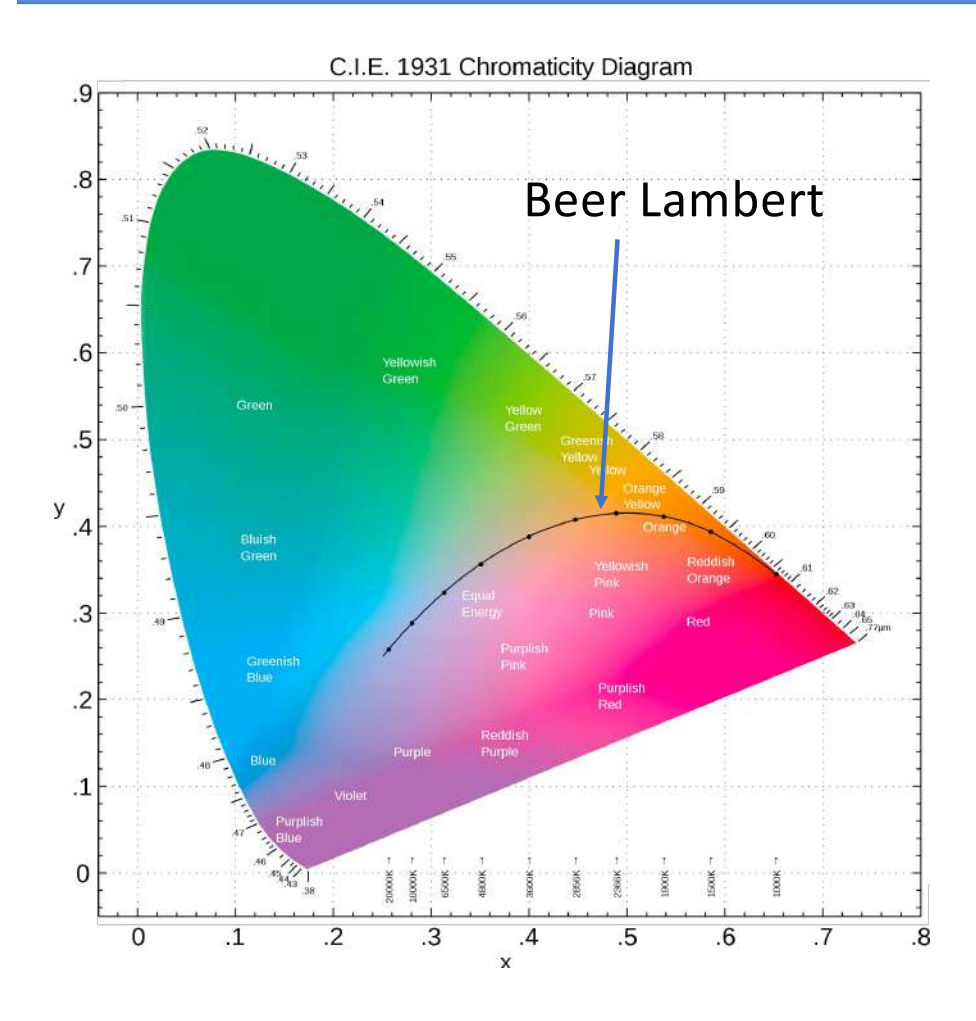
$$x = \frac{X}{X+Y+Z}$$

$$y = \frac{Y}{X+Y+Z}$$

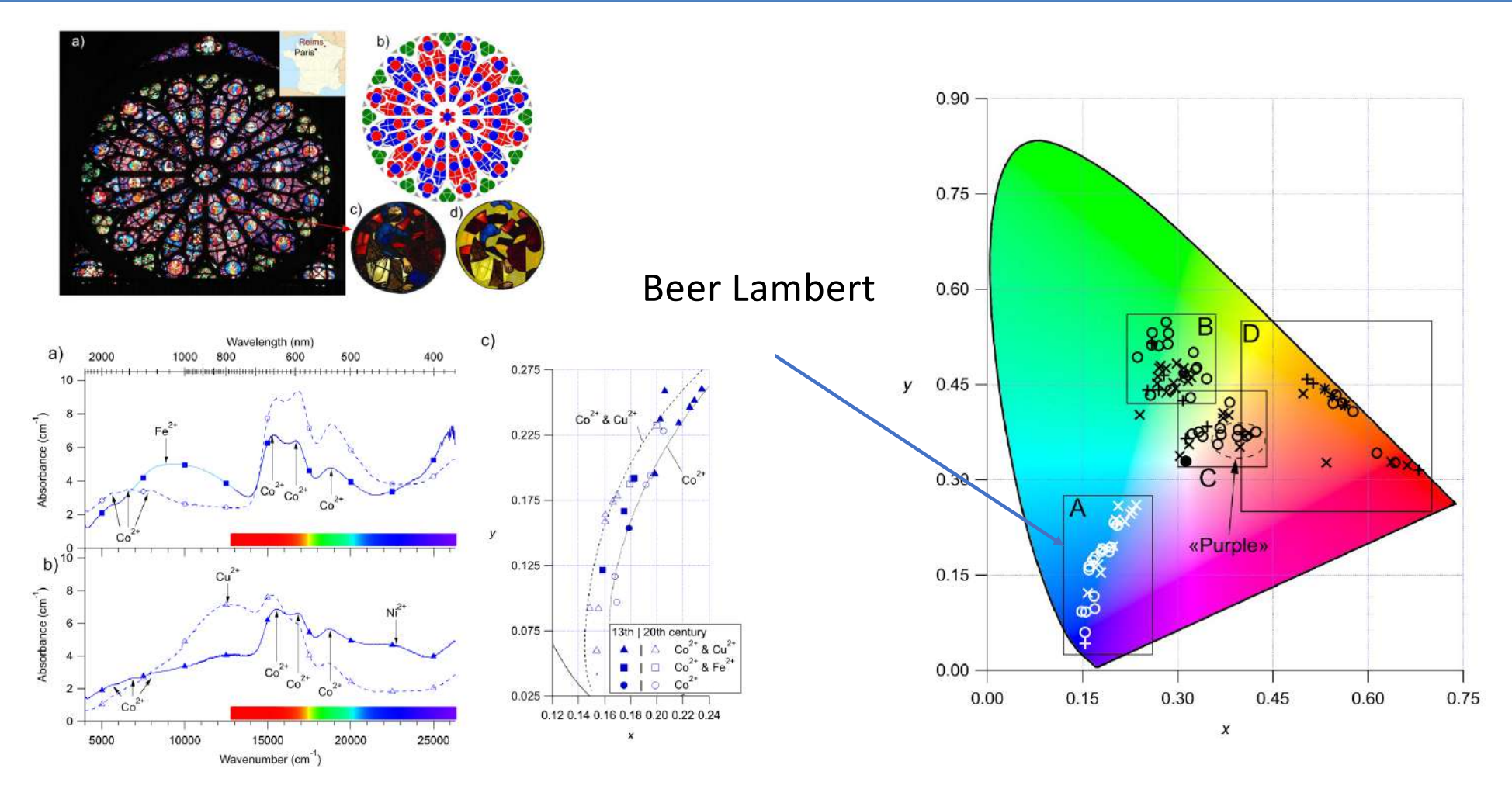
Diagramme de chromaticité CIE 1931



La colorimétrie / les coordonnées XYZ – CIE 1931



La colorimétrie / les coordonnées XYZ – CIE 1931



La colorimétrie / les coordonnées L*a*b* – CIE 1976

Afin de pouvoir décrire de manière plus uniforme les différences entre les couleurs, l'espace de couleur CIE 1976 (L*a*b*) a été créé à partir des trois grandeurs tristimulus X, Y et Z et ces coordonnées sont définies par :

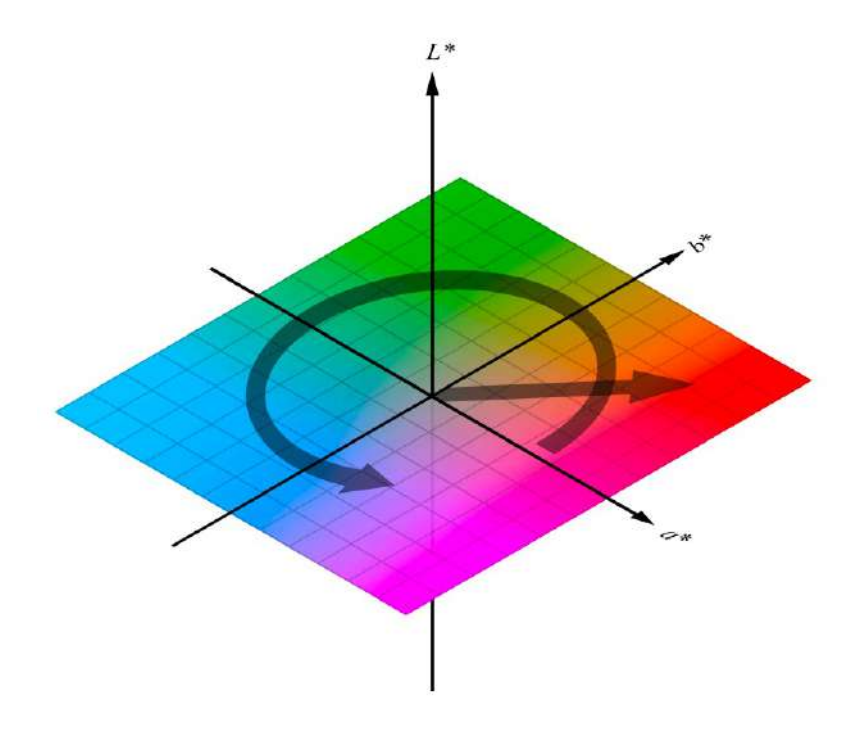
$$L^* = \begin{cases} 116(\frac{Y}{Y_n})^{\frac{1}{3}} - 16 & \text{if } \frac{Y}{Y_n} > 0.008856\\ 903.3(\frac{Y}{Y_n}) & \text{if } \frac{Y}{Y_n} \le 0.008856 \end{cases}$$

$$a^* = 500 \times (f(X/X_n) - f(Y/Y_n))$$

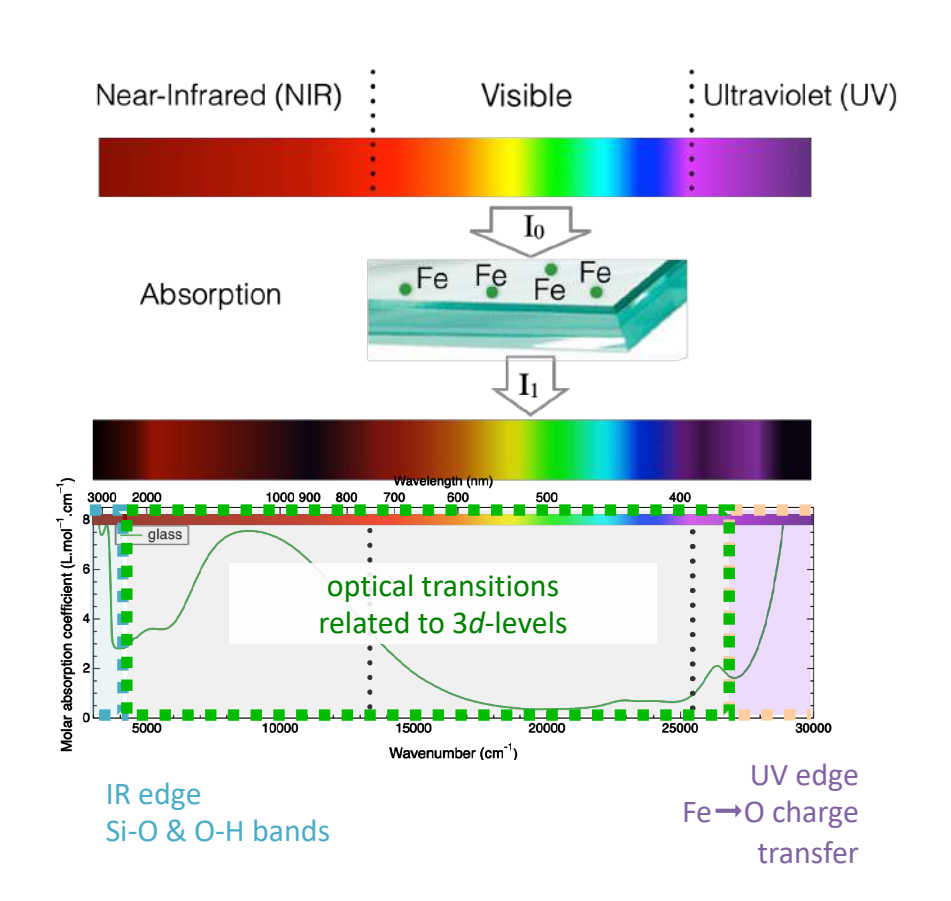
$$b^* = 200 \times (f(Y/Y_n) - f(Z/Z_n))$$

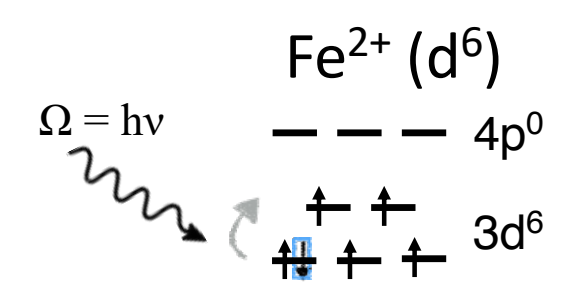
où X_n , Y_n et Z_n sont les valeurs du tristimulus pour l'illuminant utilisé. Cela correspond au point blanc du diagramme de chromaticité.

Diagramme de chromaticité CIE 1976



LA SPECTROSCOPIE D'ABSORPTION

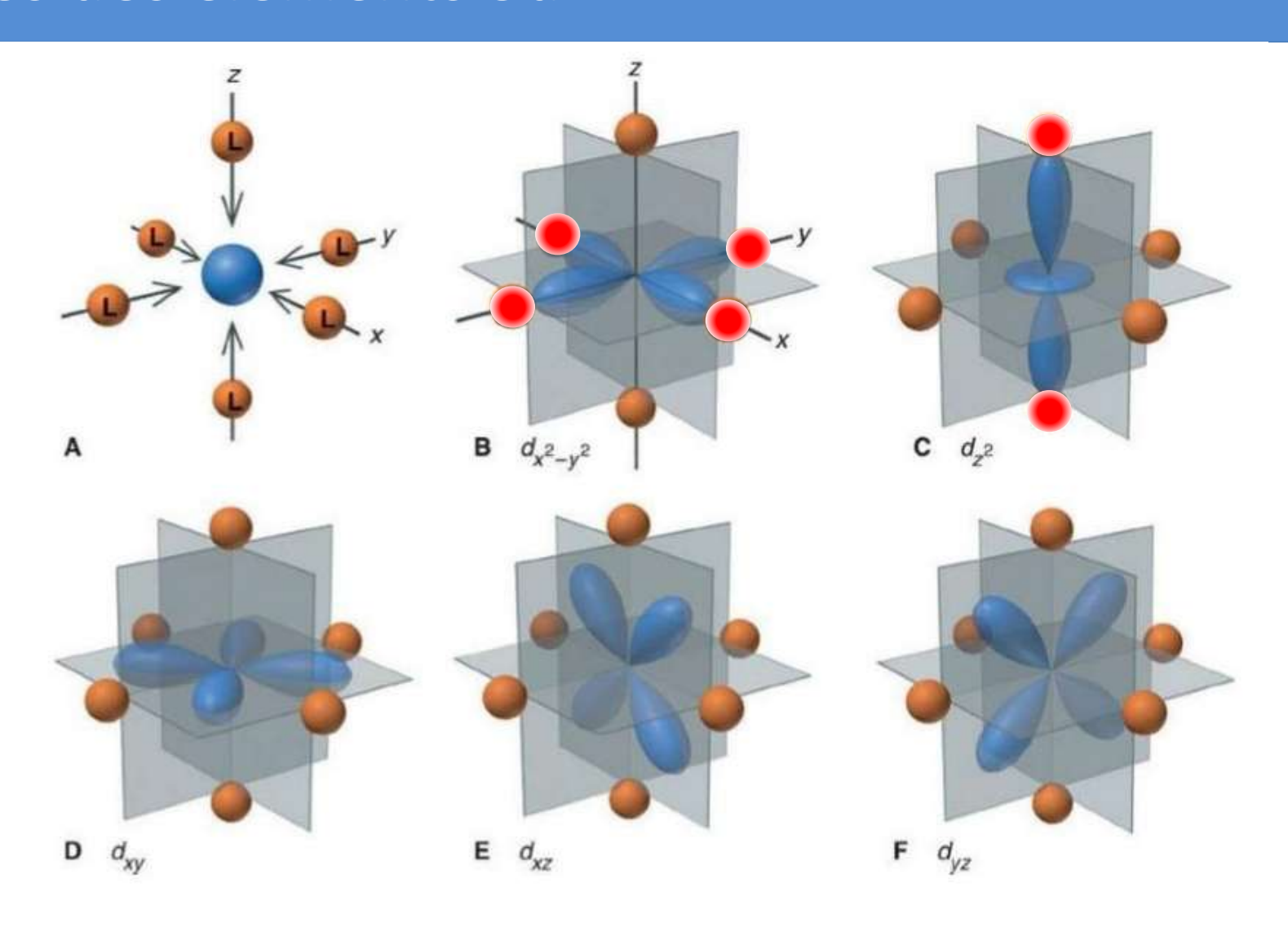




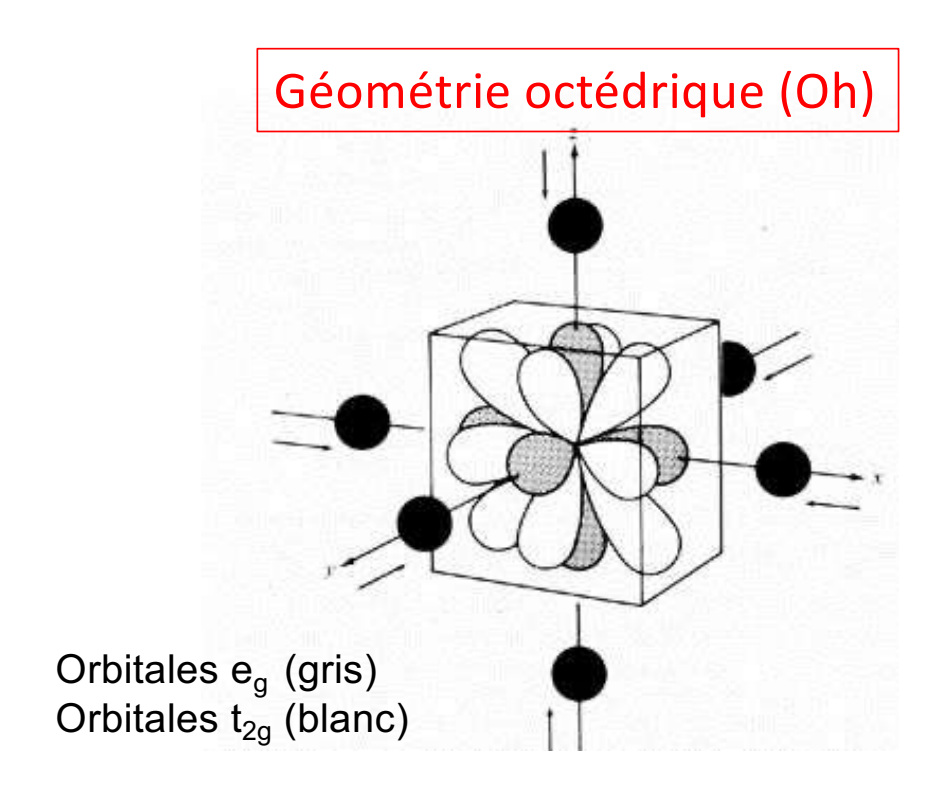
†† 1s² Absorption

Probe 3d levels

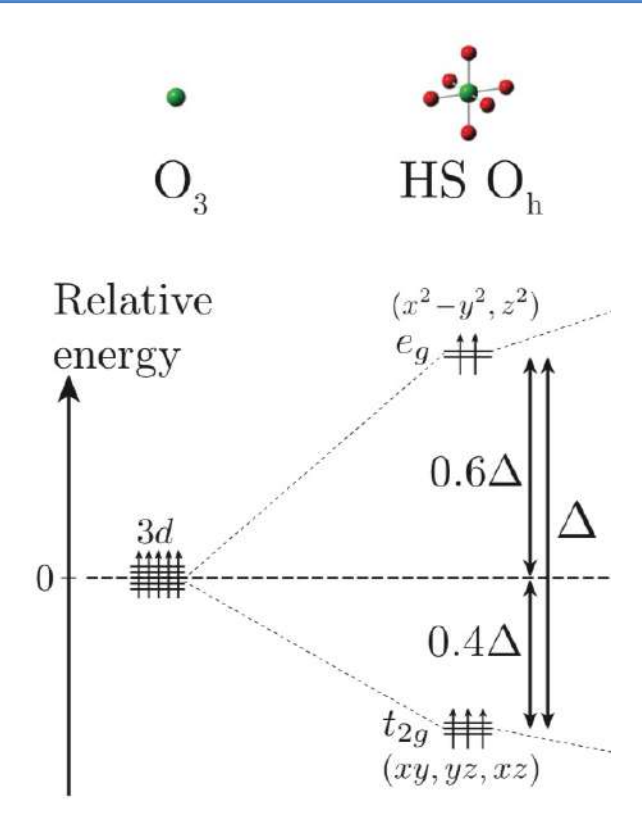
Orbitales des éléments 3d



Théorie du champ de ligand



$$E_{e_g} - E_{t_{2g}} = 10Dq = \frac{10}{6}Z\frac{e^2\langle r^4\rangle}{a^5}$$

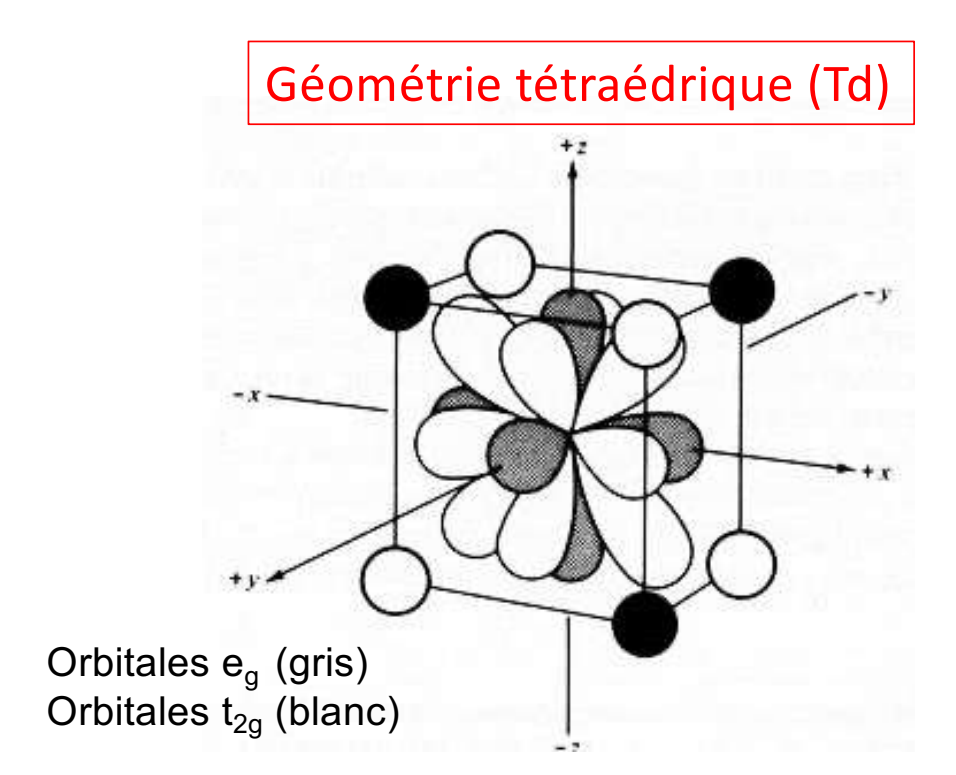


 $\langle r^4
angle$ mean value of the fourth power of the radial distance of a 3d orbital from the nucleus

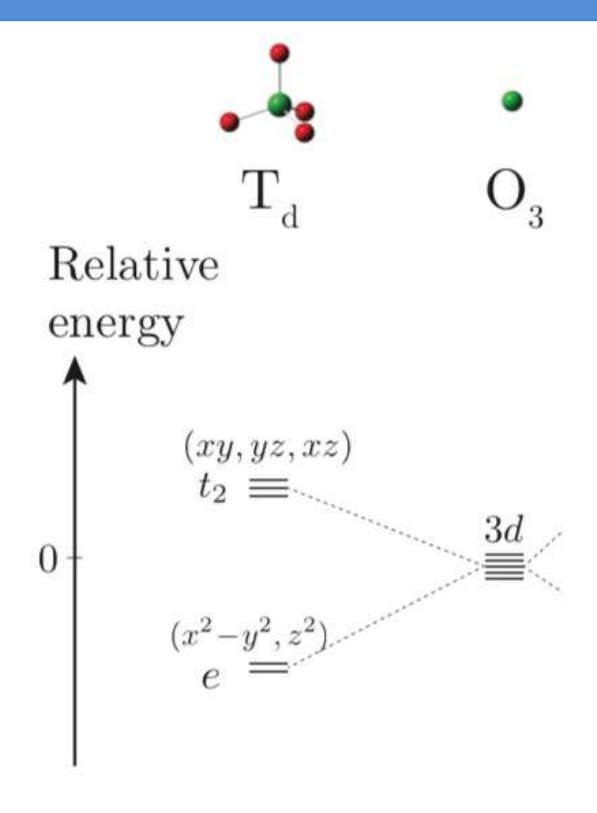
distance between the ligand and the cation

2e charge of the ligand

Théorie du champ de ligand

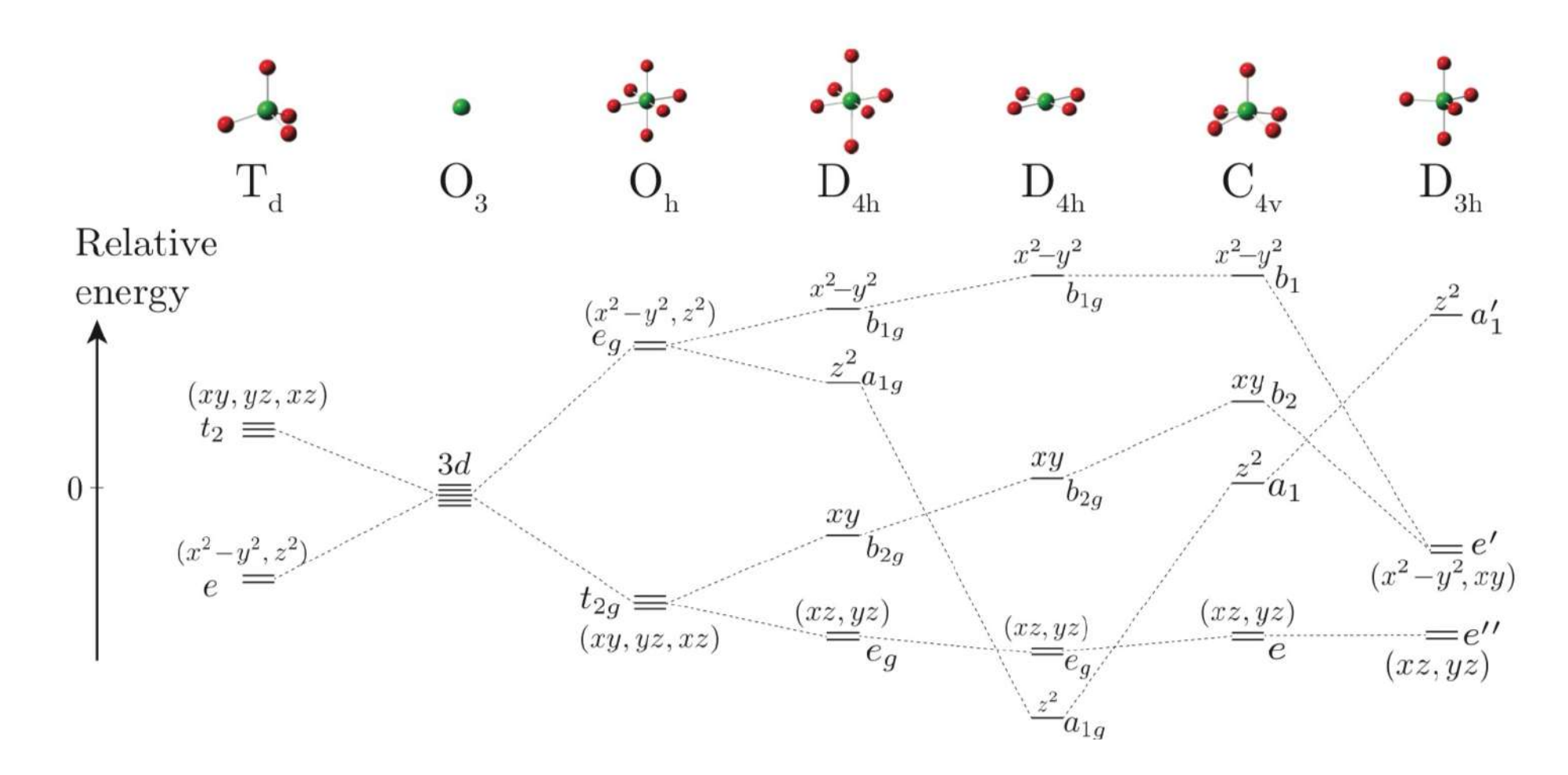


$$E_{e_g} - E_{t_{2g}} = 10Dq = \frac{10}{6}Z\frac{e^2\langle r^4\rangle}{a^5}$$



 $\langle r^4 \rangle$ mean value of the fourth power of the radial distance of a 3d orbital from the nucleus distance between the ligand and the cation charge of the ligand

Théorie du champ de ligand



Thèse de Vincent VERCAMER (IMPMC, AGC)

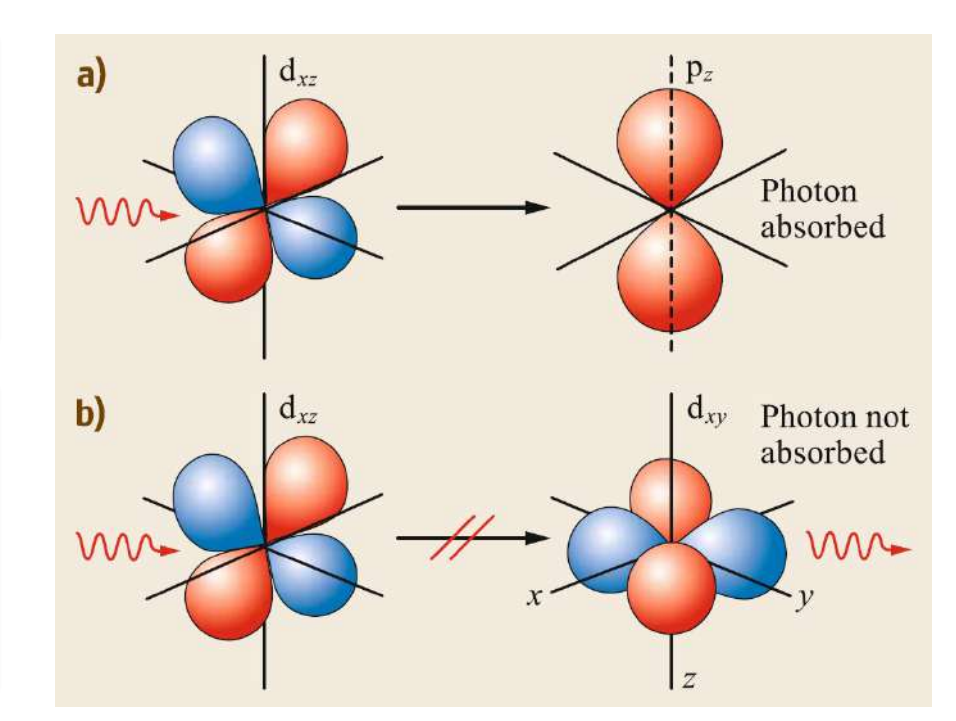
Intensité des bandes d'absorption – règles de sélection

L'intensité des bandes d'absorption optique est régie par la probabilité de transition entre les deux niveaux d'énergie. Dans le cadre de l'absorption optique, il s'agit de transitions dipolaires, et elles obéissent à des règles de sélection imposées par la théorie des groupes.

La <u>règle de Laporte</u> impose que lors de la transition : $\Delta l = \pm 1$, par conséquent, les transitions d-d sont interdites et *a priori* d'intensité nulle.

Laporte-autorisée

Laporte-interdite



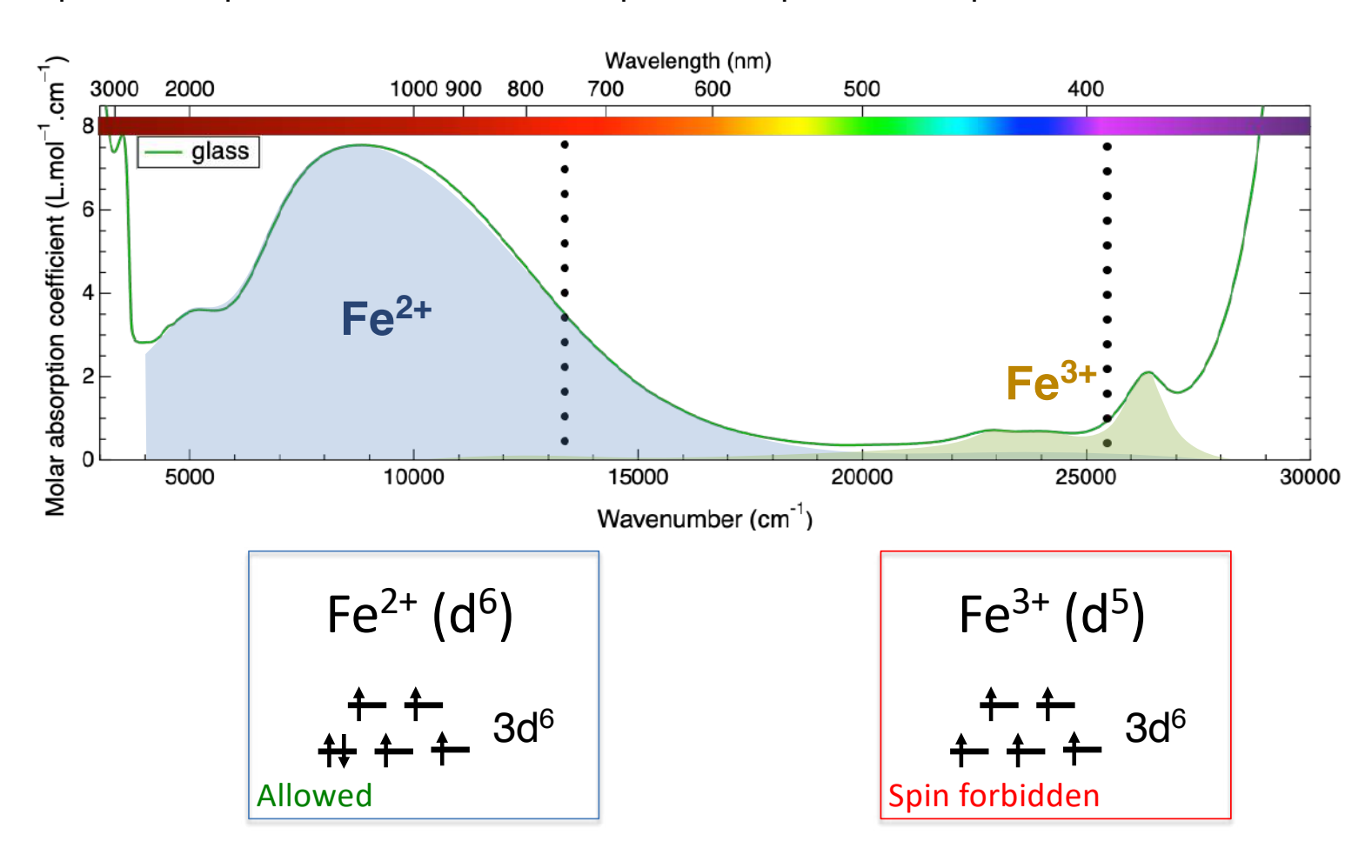
Intensité des bandes d'absorption – règles de sélection

L'intensité des bandes d'absorption optique est régie par la probabilité de transition entre les deux niveaux d'énergie. Dans le cadre de l'absorption optique, il s'agit de transitions dipolaires, et elles obéissent à des règles de sélection imposées par la théorie des groupes.

La <u>règle de Laporte</u> impose que lors de la transition : $\Delta l = \pm 1$, par conséquent, les transitions d-d sont interdites et *a priori* d'intensité nulle.

La <u>règle de spin</u> impose que les transitions sont autorisées entre états de même spin ($\Delta S = 0$)

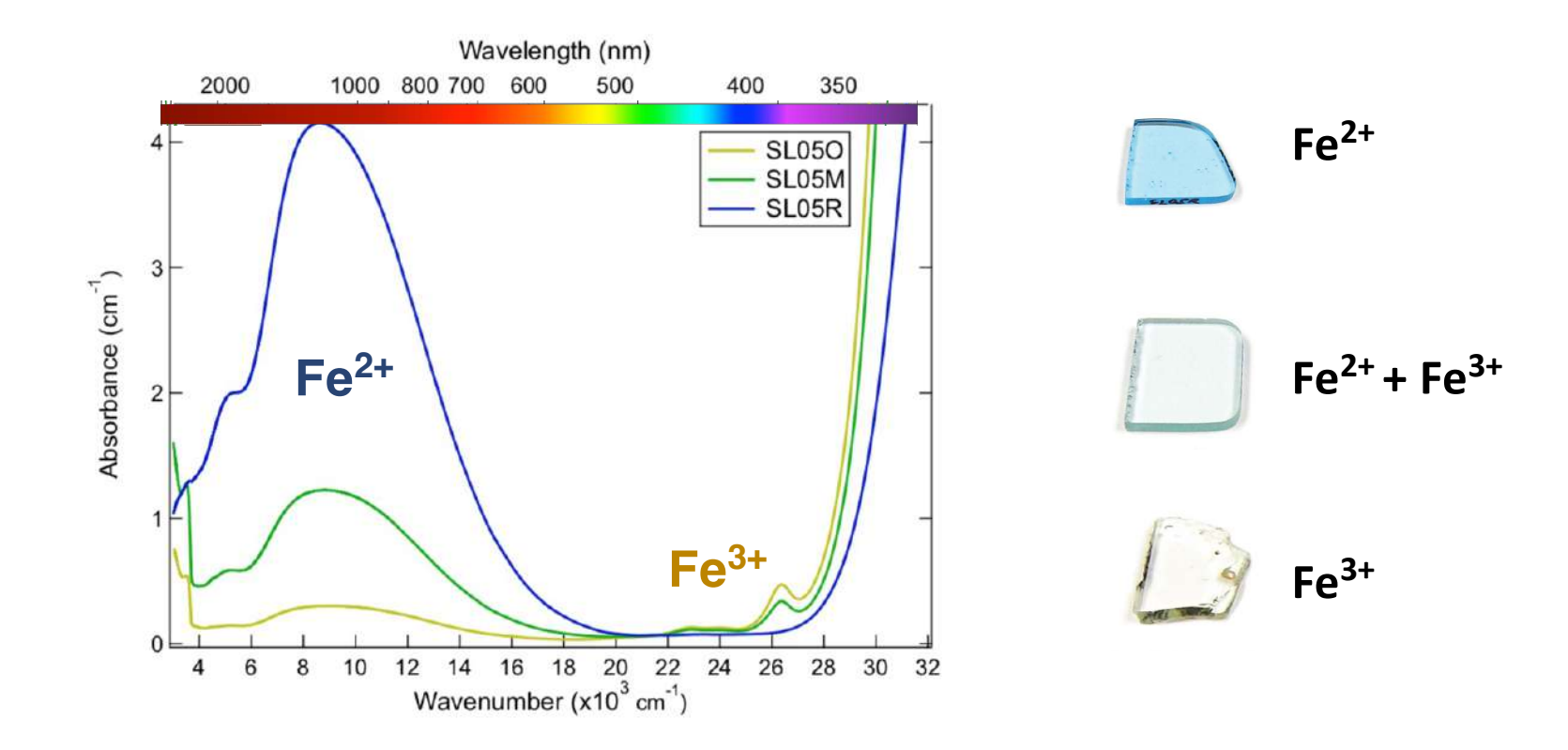
Coefficient d'absorption optique du Fe dans un verre: la principale absorption vient du Fe²⁺ alors qu'ils ne représentent que 25% du fer total

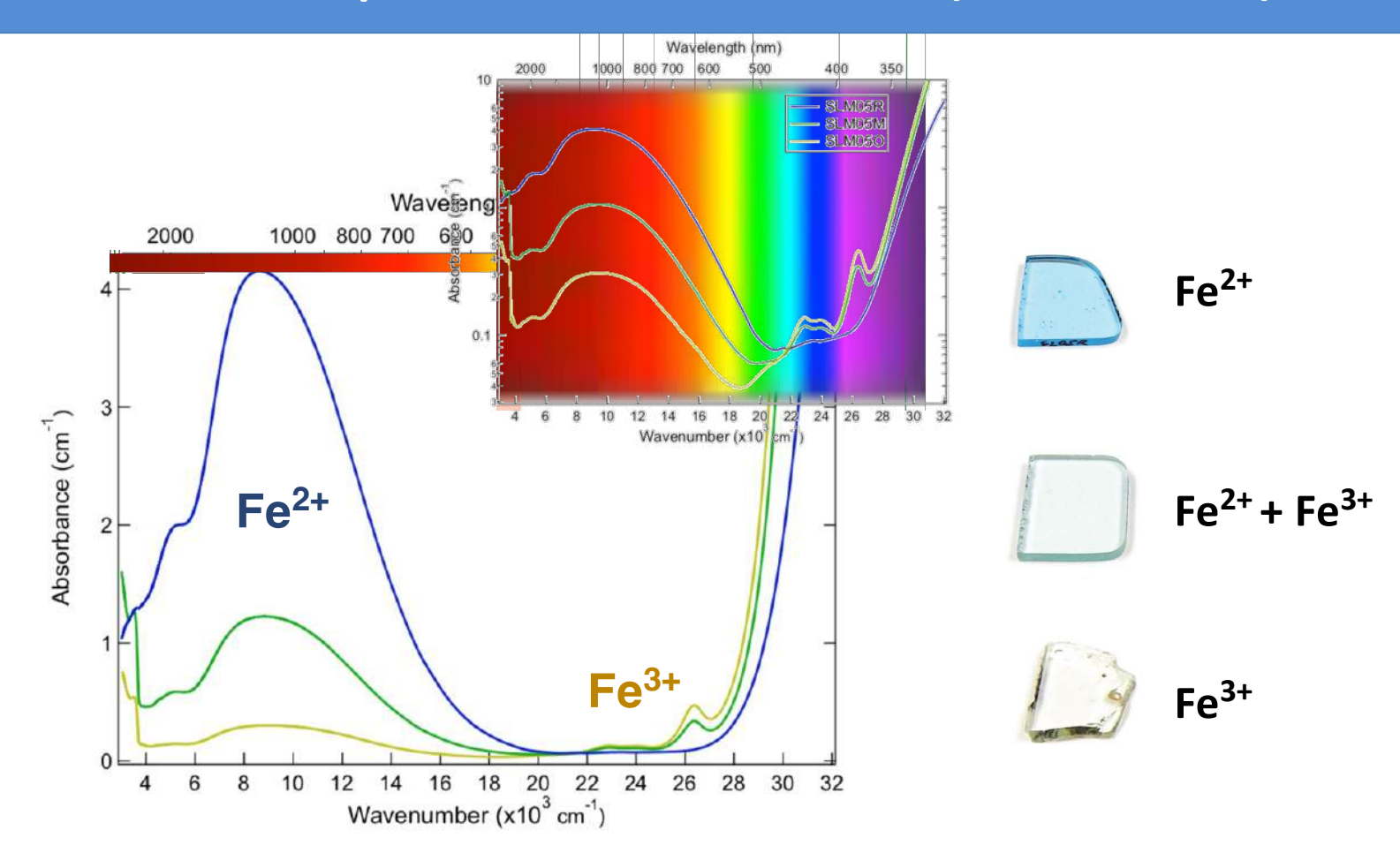


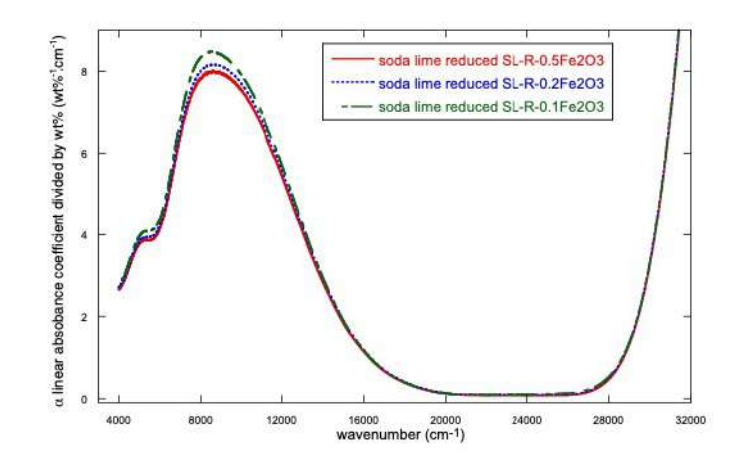


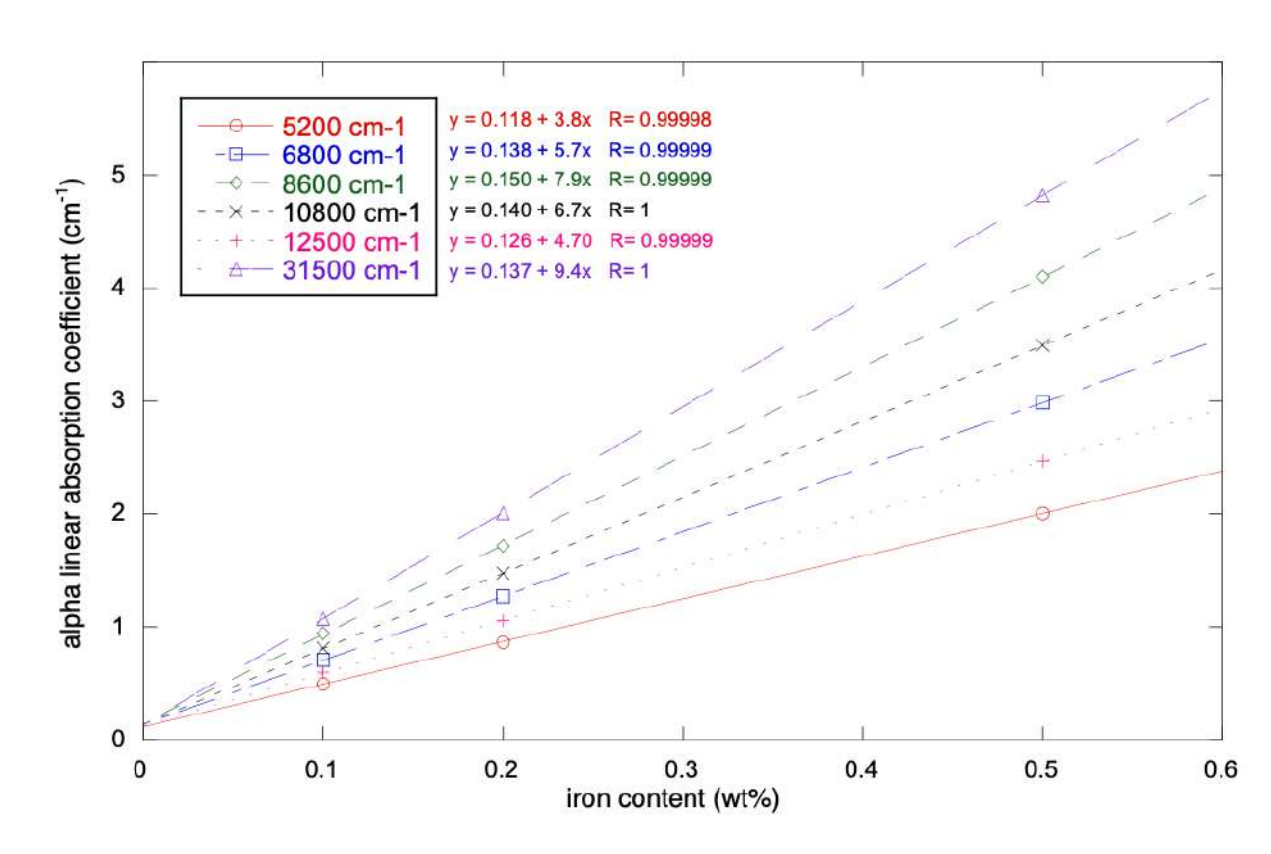
0.5wt.% en Fe₂O₃



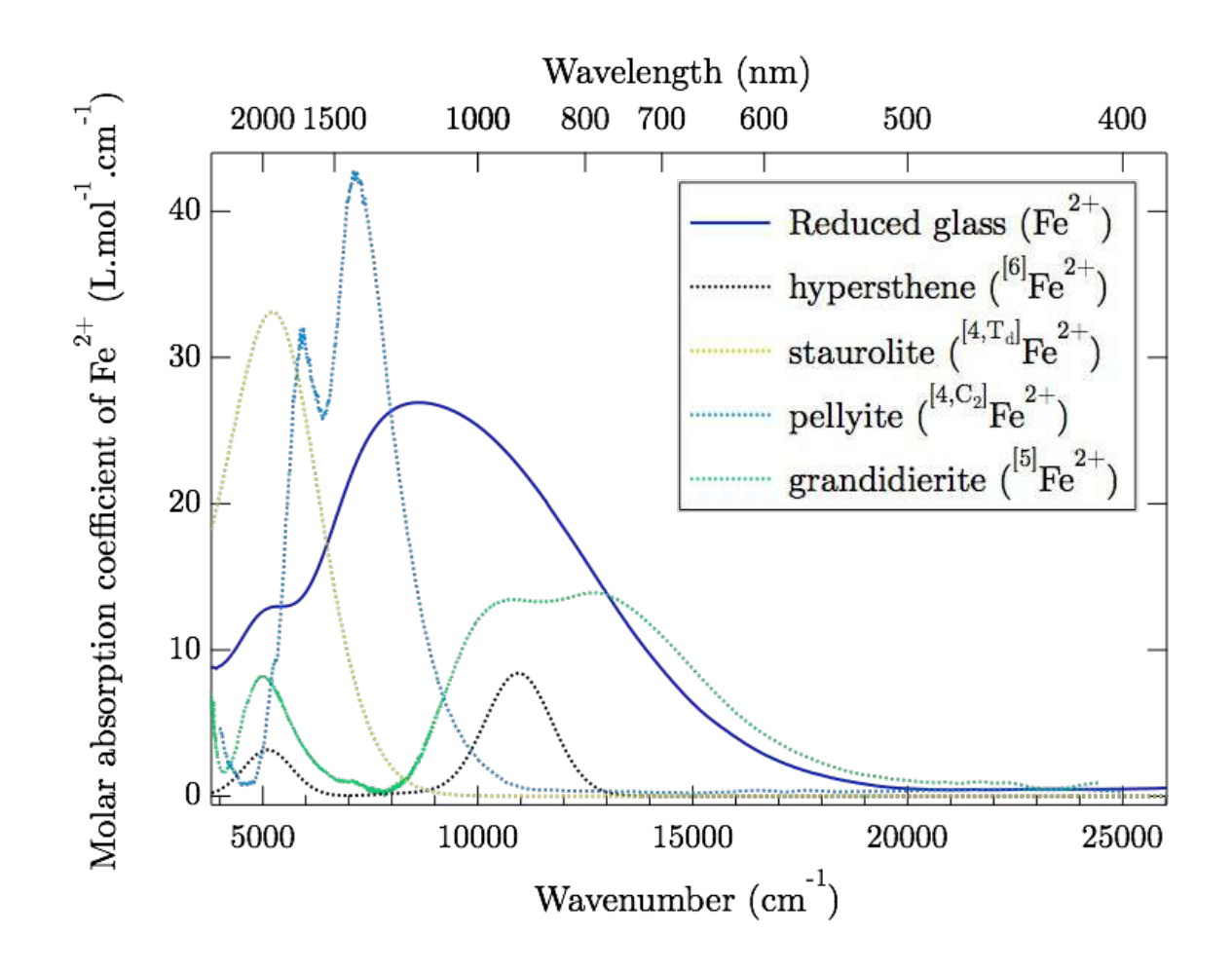




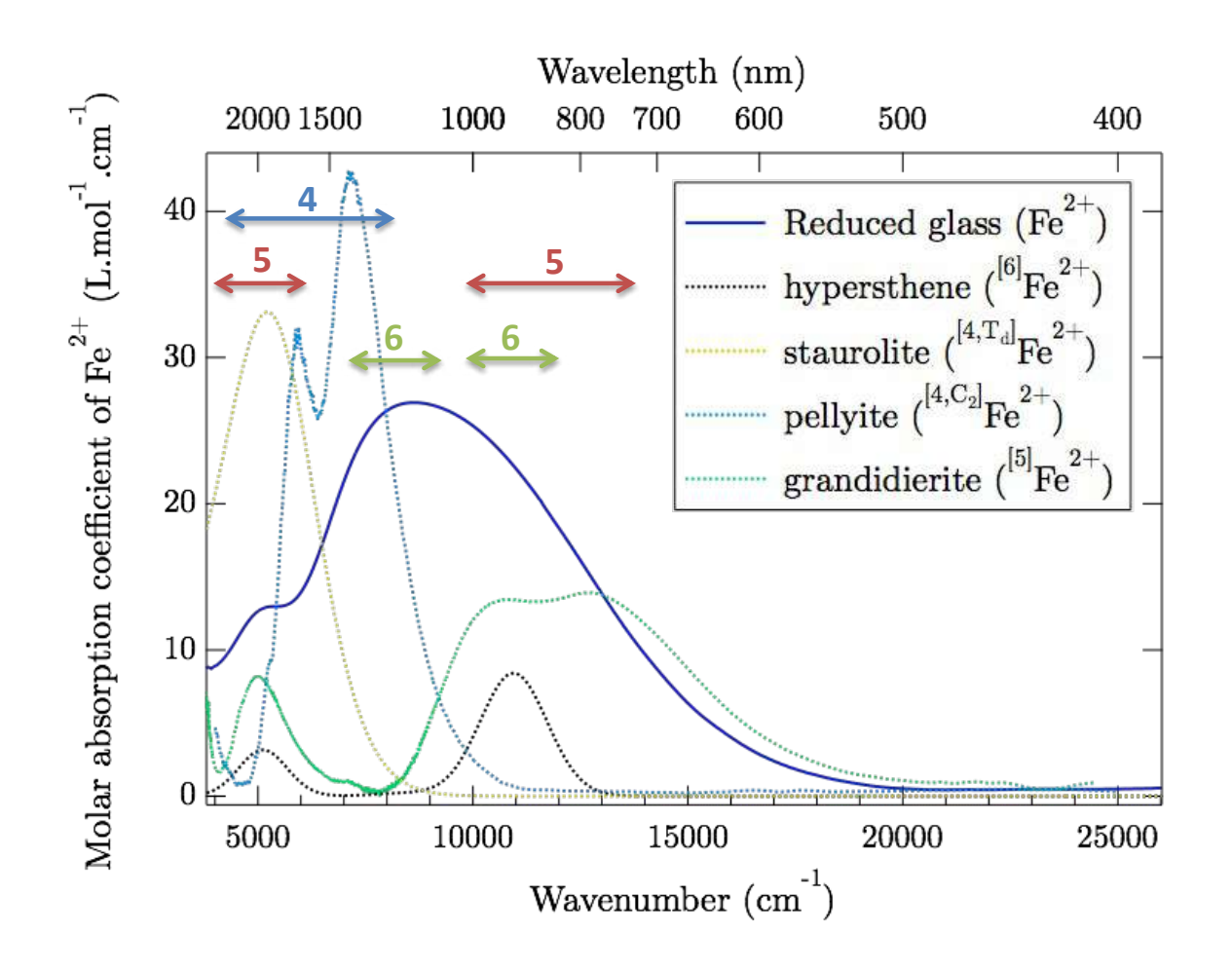




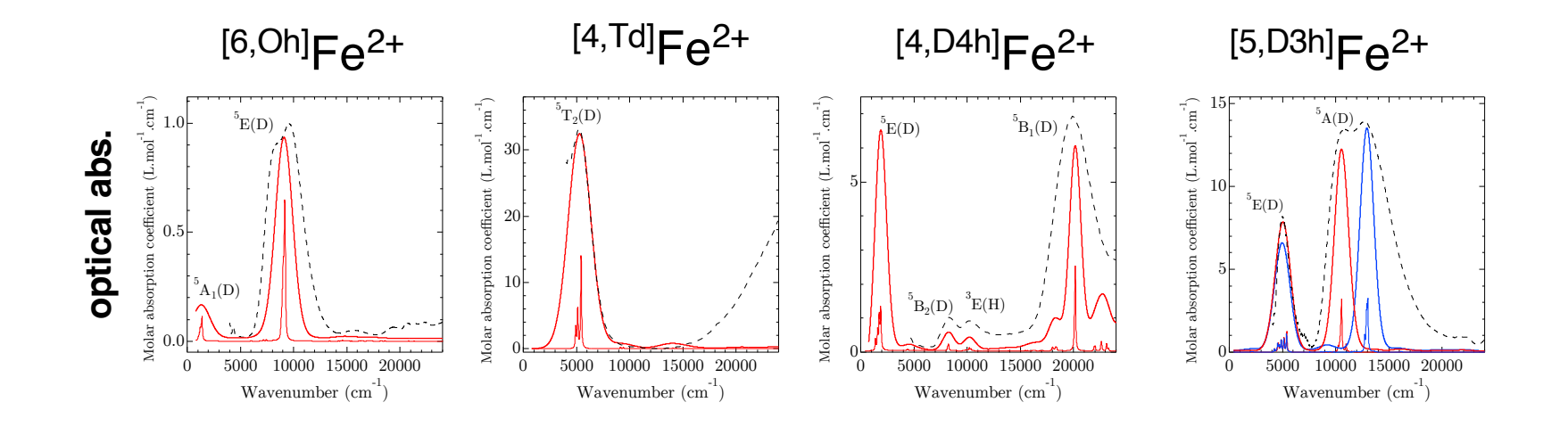
Compréhension de la structure locale



Compréhension de la structure locale



Simulation de spectres optiques – Multiplets

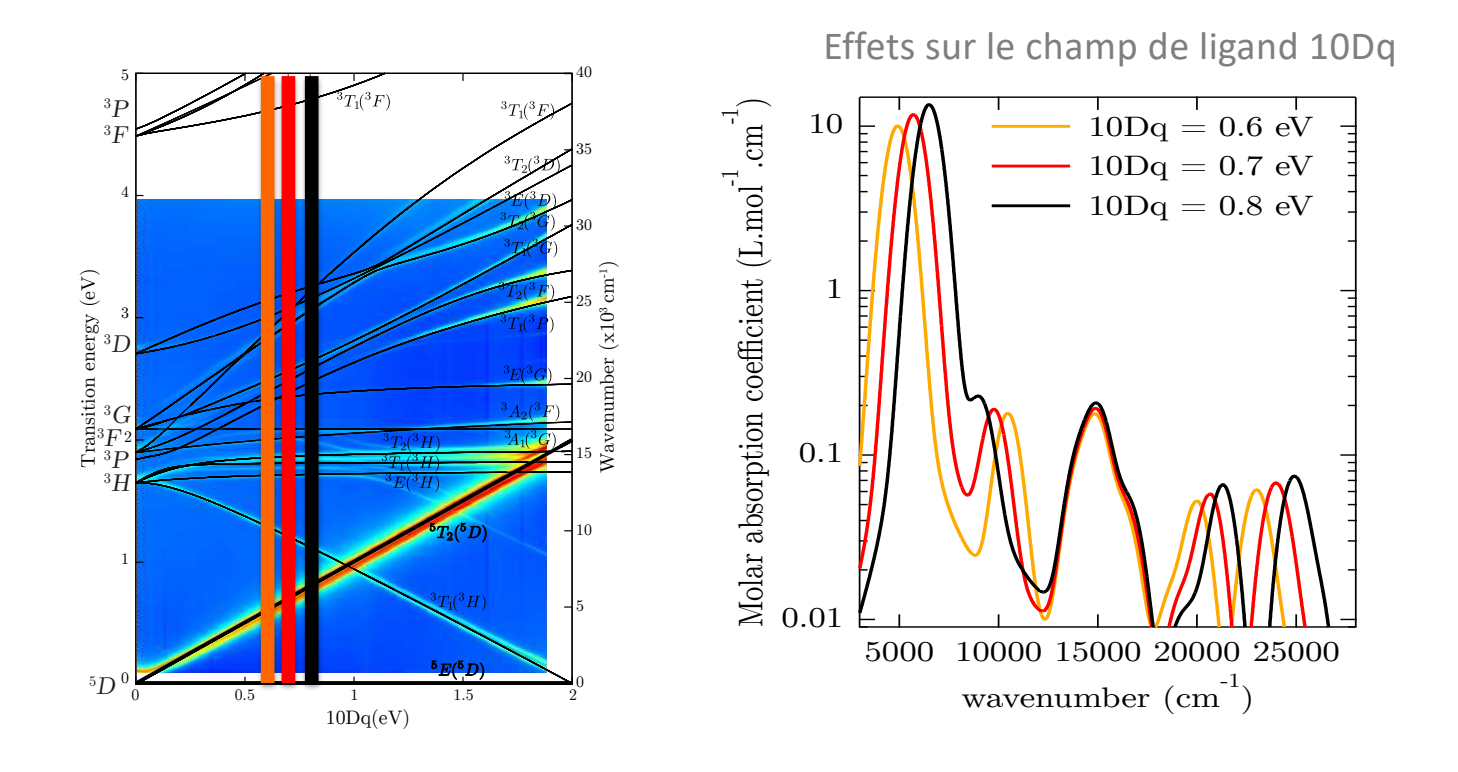


⇒ Calculs Multiplets permettent de reproduire lkes spectres optiques du Fe²+ dans de nombreuses symétries.

Vercamer et al. Physical Review B 94 245115 (2016)

Simulation de spectres optiques – Multiplets

Grâce aux calculs multiplets, on peut tester les effets des paramètres 10Dq and β



Vercamer et al. Physical Review B 94 245115 (2016)

THERMOCHROMISME

Thermochromisme

Les verres contenant du Cr³+ passent du vert au jauneen augmentant la température:

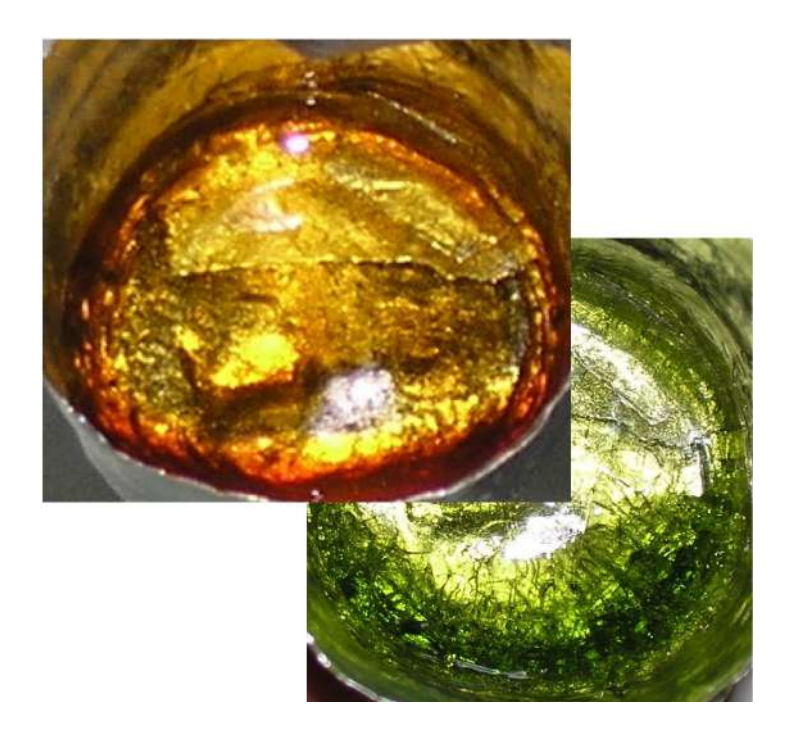
- RT à 400-500°C
- Processus reversible

L'éclatement du champ cristallin tiré d'un modèle de charge ponctuelle:

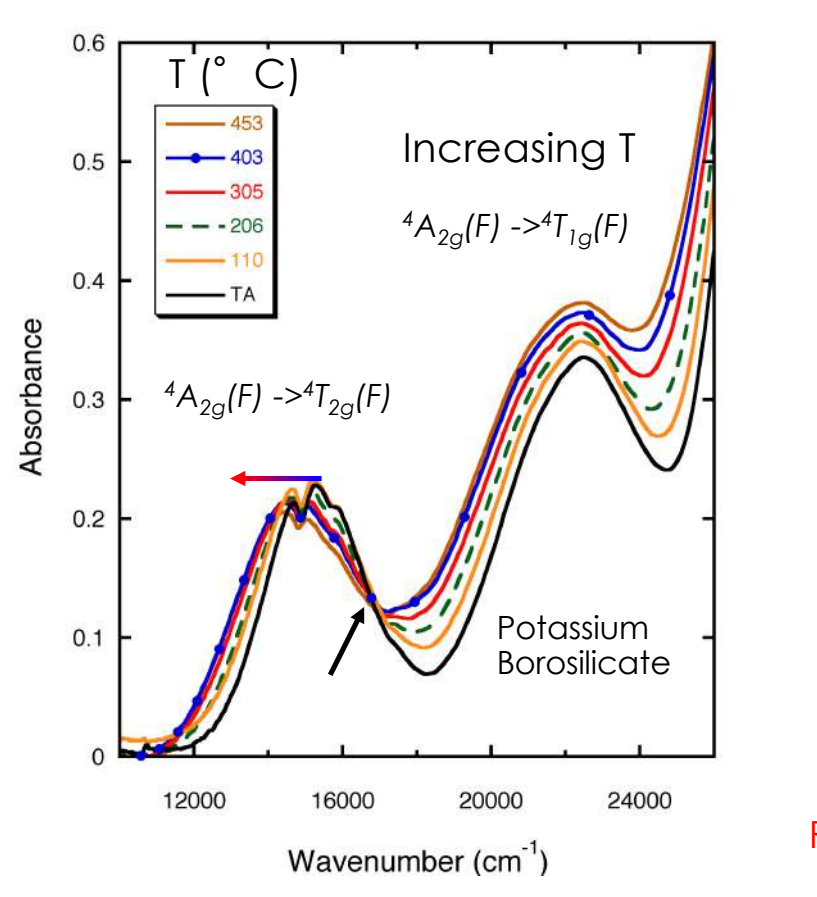
$$\Delta o = \frac{5q\langle r^{-4} \rangle}{\overline{R}^5}$$

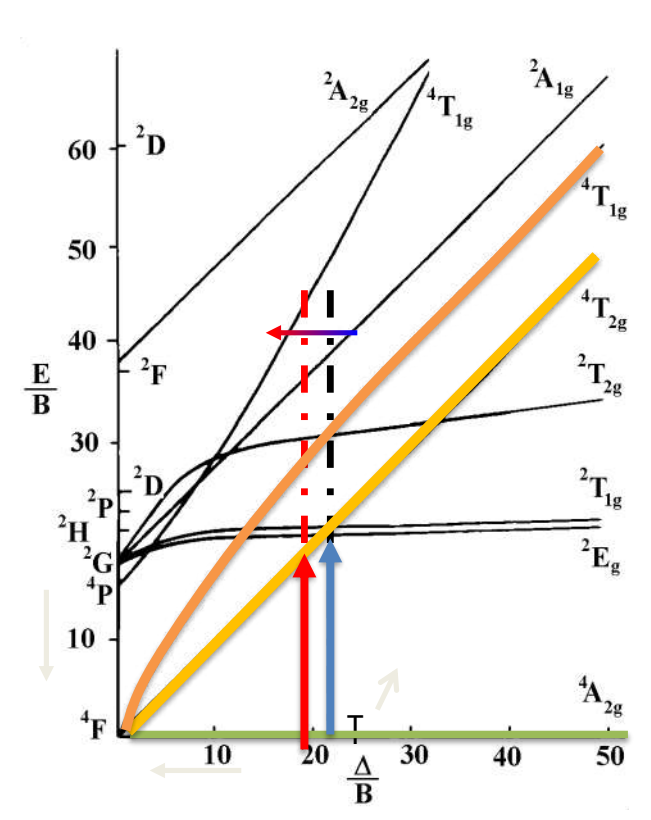
q: charge effective charge des ligandes \overline{r} : distance moyenne noyau – electron d

R: distance moyenne Cr-O



Thermochromisme sous Tg







Reduction de l'intensité du champ cristallin quand T augmente : expansion thermique du site

coefficients d'expansion thermique (CTE) du Cr³⁺ in sit octaédrique =15-20.10⁻⁶K

Thermochromisme au-delà de Tg

Electronic Spectra and Coordination of Ni²⁺ in Potassium Borate Glass and Melt to 1000°C

TED-CHENG LIN* AND C. AUSTEN ANGELL*

Department of Chemistry, Purdue University, West Lafayette, Indiana 47907

A quantitative visible-uv spectroscopic study of local structure-sensitive electronic transitions resulting from Ni²⁺ doped into sodium borate in the glassy and liquid states up to 1000°C was conducted using a simple windowless Pt-cell technique with a high-temperature spectrophotometer. Analysis of the spectra shows that Ni2+ is distributed between distorted tetrahedral and octahedral sites in a temperature-dependent equilibrium with $\Delta H = 44.4 \text{ kJ} \cdot \text{mol}^{-1}$ in the liquid and a much smaller but nonvanishing value in the glass.

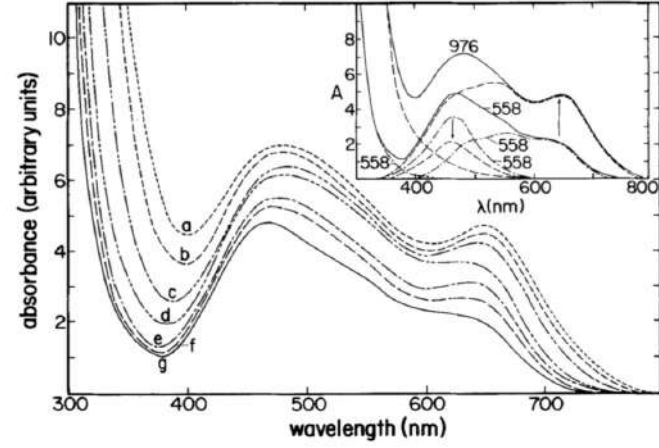
ALTHOUGH the transition-metal-ion ligand-field spectra of inorganic glasses have been studied extensively, ^{1,2} there have been only occasional, mostly exploratory, studies of these spectra for the molten state.3.4.7 This gap in the data is due primarily to (1) light emission from hot samples, which most spectrophotometers are incapable of excluding from the detector, and (2) difficulty in containing an uncontaminated oxide glass melt for spectroscopic study. The first problem may be resolved by using a spectrophotometer which has a source-chopper arrangement such that only light chopped before reaching the hot sample is detected subsequently. We have developed a simple method of solving the second problem which is suitable for use to 1000°C with common oxide melts in the composition range 0 to 70% alkali oxide; the first results are reported in this communication.

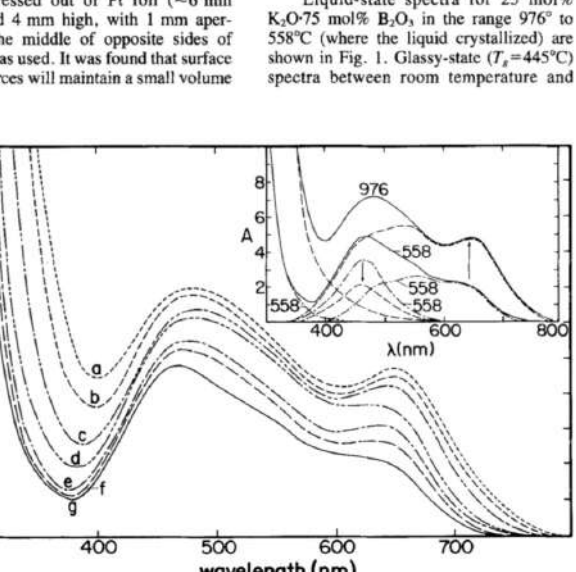
EXPERIMENTAL PROCEDURES

A small square Pt crucible conveniently pressed out of Pt foil (≈6 mm square and 4 mm high, with 1 mm apertures in the middle of opposite sides of the cell) was used. It was found that surface tension forces will maintain a small volume of melt inside such a crucible at temperatures up to 1000°C. Flat menisci at the apertures can be provided by adding the appropriate excess of material to the cell; the flat meniscus condition provides a maximum in the transmitted light intensity. An iris in the reference beam is used to reduce its intensity to that of the beam passing through the empty sample cell. Melts were prepared in a dry box from dry B2O3 with added alkali carbonate. The melt was doped with Ni (II) to obtain a concentration of $\approx 5 \times 10^{-2}$ mol·L⁻¹. Samples in the glassy state were studied at temperatures up to the glass transition temperature (T_e) . Flat discs were obtained by quenching the melt between brass plates.

RESULTS AND DISCUSSION

Liquid-state spectra for 25 mol%





Linear Absorption Coefficient (cm⁻¹) 1.2 X-0-H 0.8 0.6 [5]Fe2+ 0.4 0.2 Fe2+ 2000 4000 6000 8000 Wavenumber (cm⁻¹)

Thèse de Florent Michel (IMPMC, SGR)

CONTRIBUTING EDITOR - R. K. MACCRONE

*Member, the American Ceramic Society. *Permanent address: Research & Development

Received August 17, 1983; revised copy received November 28, 1983; approved November 28, 1983. Supported by the National Science Foundation, Solid State Chemistry Grant No. 8007053.

L'absorption optique en quelques mots

- 1 Tous types de matériaux (solide, liquide, poudres)
- 2 Permet des **mesures** *in situ* (température, pression)
- 3 Permet de caractériser la structure du verre caractériser les propriétés structurales du verre origine de la couleur caractérise la valence, la coordinence, redox
- 4 Permet de caractériser les propriétés d'absorption du liquide HT

Remerciements

IMPMC, Paris (France)

Doctorants: Myrtille Hunault, Vincent Vercamer, Théo Caroff

Stagiaires: Georges El Dib (M2), Mariame Sakho (M2)

Georges Calas, Laurent Cormier, Laurence Galoisy, Amélie Juhin, Marianne Arrio, Christian Brouder

MERCI POUR VOTRE ATTENTION